

Indice

1. Introducción	1
2. Análisis de resultados	1
2.1. Tamaños de los SCM	5
2.2. Clasificación de los SCM	6
2.3. Ciclo diurno	8
2.4. Temperaturas mínimas de las cimas	10
2.5. Localización geográfica	11
2.6. Ciclo de vida de los SCM	14
3. Conclusiones	14
4. Referencias	17
Anexo I. Trayectorias y longitudes de los ejes de los SCM	18
Anexo II. Valores estadísticos de temperatura de las cimas nubosas	36
Anexo III. Areas cubiertas por temperaturas inferiores a ciertos valores	54

1. Introducción

En esta Nota Técnica se estudian, desde el punto de vista de satélite, los fenómenos convectivos que presentan características de Sistemas Convectivos de Mesoescala (SCM) (Riosalido, 1990, 1991; Canalejo *et al.*, 1993; Carretero *et al.*, 1993) y afectan al área mediterránea dentro de la Campaña Previmet Mediterráneo- 92. Asimismo se incluye la descripción del ciclo de vida de los diferentes Sistemas.

Se continúa con este trabajo la línea que consiste en el estudio de estos fenómenos para ampliar la base de datos disponible con el fin de poder elaborar una "Climatología" de SCM y, partiendo de ésta, poder caracterizar estas estructuras en profundidad con el objetivo final de elaborar modelos conceptuales que resulten útiles para la predicción de estos fenómenos a corto y muy corto plazo.

En el presente estudio se mantiene la condición impuesta para las muestras de las campañas 89, 90 y 91 para considerar una estructura convectiva como SCM tomando como tales aquellas cuyo eje supere los 100 Km.

En cuanto a la metodología de estudio, se ha seguido la ya utilizada para las campañas 90 y 91 (Canalejo *et al.*, 1993; Carretero *et al.*, 1993).

2. Análisis de resultados

Los SCM que constituyen la muestra de la presente Campaña se han clasificado por tamaños siguiendo el mismo criterio que en años anteriores.

Durante la Campaña Previmet Mediterráneo-92 se han estudiado los 23 SCM que se especifican en la Tabla I; en ella figura el tipo de SCM según su tamaño, su nombre (asignado arbitrariamente), la fecha y los datos correspondientes al momento de máxima extensión de las áreas de -32°C y -48°C : hora, extensión en miles de Km^2 , longitud del eje mayor en Km y excentricidad.

En esta tabla se ve que los valores de las áreas bajo la isoterma de -32°C varían desde 22.000 Km^2 , del orden del tamaño de las grandes tormentas, hasta 430.000 Km^2 , que alcanza el tamaño de los CCM de Maddox.

En concreto, a partir de los datos que figuran en los anexos I, II y III de esta Nota Técnica, se ha comprobado si los SCM de Tipo I cumplen las condiciones de Maddox. El resultado de esta comprobación ha sido el siguiente:

El SCM "N" cumple todas las condiciones y por lo tanto es un Complejo Convectivo de Mesoescala. Puede comprobarse a simple vista en las imágenes adjuntas a la parte II de esta Nota Técnica el gran tamaño, la duración y los grandes desarrollos alcanzados por este CCM.

			Máxima Extensión							
			-32°C				-48°C			
TIPO	SCM	DÍA	HORA	ÁREA	EJE	EXC	HORA	ÁREA	EJE	EXC
SCM-I	N	27/09	01:30	430	971	0.7	01:30	272	971	0.7
	F	21/09	21:30	392	1066	0.7	21:30	237	1066	0.7
	G	22/09	01:30	298	846	0.6	01:30	201	846	0.6
	K	26/09	18:30	275	780	0.5	16:00	192	665	0.6
	S	23/09	18:00	243	585	0.6	17:00	153	719	0.7
	M	27/09	08:30	260	918	0.3	08:30	147	918	0.3
SCM-II	X	08/10	14:00	154	501	0.8	14:00	48	501	0.8
	R	22/09	21:30	66	335	0.8	21:30	46	335	0.8
	V	23/09	20:00	53	343	0.5	19:30	44	333	0.5
	A	08/09	21:00	86	315	0.9	20:00	41	295	0.9
	O	27/09	22:00	49	311	0.7	22:00	41	311	0.7
	C	21/09	15:30	63	412	0.6	14:30	39	385	0.6
	D	21/09	19:00	58	273	0.8	18:30	40	286	0.9
	L	26/09	04:30	53	495	0.5	04:30	40	495	0.5
	W	23/09	21:00	61	286	0.7	19:30	35	271	0.9
	J	21/09	03:30	46	394	0.6	03:30	35	394	0.7
	T	23/09	13:00	51	286	0.9	13:00	34	286	0.9
	Y	08/10	11:30	63	341	0.7	10:30	27	322	0.8
SCM-III	E	21/09	17:00	29	297	0.5	17:00	23	297	0.5
	I	26/09	11:00	28	205	1.0	10:00	22	200	0.8
	H	21/09	18:30	35	244	1.0	19:00	17	295	0.5
	U	23/09	16:00	22	198	0.7	16:00	17	198	0.7
	B	09/09	15:30	51	319	0.6	15:00	11	294	0.6

Tabla I.- SCM estudiados en la Campaña Previmet-92

El SCM "F" cumple también con todas las condiciones salvo la referente a la duración. Según los datos de que se dispone, este SCM cumple las condiciones requeridas durante un período de 4 horas. Sin embargo estos datos se cortan a las 22:30Z, hora correspondiente a la última imagen Meteosat disponible debido al eclipse de otoño. A juzgar por los valores de las áreas bajo las isothermas de -32°C y -52°C a esta hora (257.000 Km² y 101.000 Km² respectivamente), muy superiores a los valores umbrales de Maddox, bien pudiera ser que dos horas más tarde las áreas bajo esas isothermas superaran todavía los valores umbrales. Por esto, y con esta salvedad, no parece descabellado clasificar el SCM "F" como CCM.

Los SCM "G", "S", "K" y "M" cumplen con todas las condiciones salvo la excentricidad. Según las condiciones de Maddox un CCM debe tener una excentricidad mayor o igual a 0.7 en el momento de máxima extensión (Maddox, 1980). Los SCM "G" y "S" tienen $e = 0.6$ luego casi se

podrían considerar CCM. Por el contrario los sistemas "K" ($e = 0.5$) y "M" ($e = 0.3$) no cumplen las especificaciones.

La distribución por meses de los sistemas encontrados ha sido la siguiente:

Septiembre: 21 casos
 Octubre: 2 casos
 Noviembre: ningún caso.

En la tabla II se resume la información referente a las horas en que se produjeron las primeras tormentas, desde que empezaron a surgir los primeros núcleos convectivos que posteriormente evolucionaron hacia SCM y la duración de éste.

TIPO	SCM	FECHA	P. TOR	DURACIÓN
SCM-I	N	27/09	04:30	34:00
	F	21/09	13:30	09:00
	G	22/09	01:30	32:30
	K	26/09	07:30	20:30
	S	23/09	06:30	24:00
	M	27/09	03:00	14:00
SCM-II	X	08/10	01:30	30:00
	R	22/09	16:00	05:30
	V	23/09	14:30	08:00
	A	08/09	15:30	06:00
	O	27/09	18:30	03:30
	C	21/09	05:00	13:00
	D	21/09	13:30	06:30
	L	26/09	23:00	07:00
	W	23/09	14:30	08:00
	J	21/09	18:30	13:00
	T	23/09	08:30	04:30
	Y	08/10	03:00	10:30
SCM-III	E	21/09	14:00	02:30
	I	26/09	06:00	06:30
	H	21/09	16:00	05:00
	U	23/09	12:30	07:00
	B	09/09	08:30	10:30

Tabla II.- SCM estudiados en la Campaña Previmet-92.

2.1. Tamaños de los SCM

La figura 1 muestra la distribución de la longitud del eje mayor de los sistemas en el momento

de máxima extensión del área bajo la isoterma de -32°C . En ella puede verse que la mayoría de los sistemas tienen ejes con longitud entre 200 y 400 Km (13 casos) y que el número de sistemas con eje mayor disminuye aunque aparece un máximo relativo de sistemas con eje mayor de 800 Km. Esto se debe a la presencia de los CCM antes mencionados.

Longitud del eje mayor
(momento de máxima extensión)

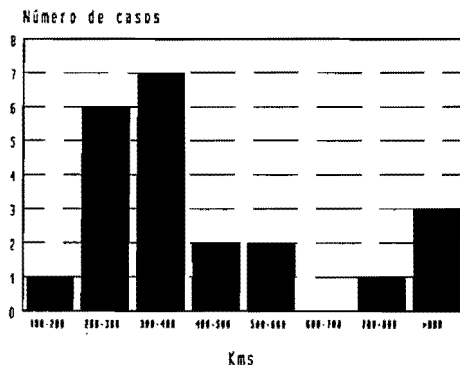


Figura 1.- Longitud del eje mayor de los SCM en el momento de máxima extensión.

Area cubierta isoterma de -32°C y -48°C
(momento de máxima extensión)

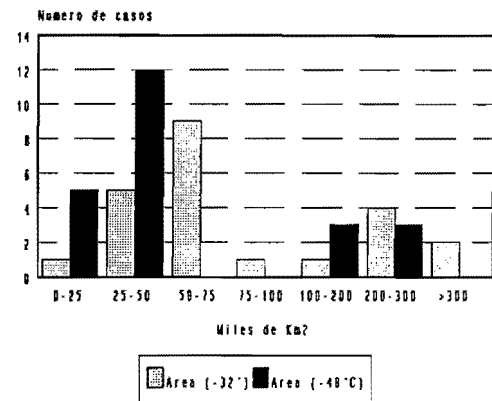


Figura 2.- Áreas bajo isoterma de -32°C y -48°C .

En las campañas anteriores se veía que la mayoría de los sistemas tenían ejes entre 200 y 400 Km y muy pocos superaban los 500 Km. En la presente campaña los sistemas han sido mayores.

En lo que respecta a la extensión de los sistemas (área de -32°C) en la figura 2 puede verse que la mayoría de ellos ocupa entre 50.000 y 75.000 Km², máximo que coincide con el de la muestra del 89, y vuelve a aparecer un máximo secundario con tamaños entre 200.000 y 300.000 Km² correspondiente a los CCM. Por otro lado, la superficie cubierta por temperaturas más frías (isoterma de -48°C) presenta el mismo comportamiento, lógicamente con valores más pequeños: máximo entre 25.000 y 50.000 Km² y máximo secundario entre 100.000 y 300.000 Km².

2.2. Clasificación de los SCM

Como ya se ha mencionado, los SCM se han clasificado por tamaños a partir del área bajo la isoterma de -48°C al igual que se hizo en las campañas anteriores. Según esta clasificación los primeros resultados estadísticos obtenidos han sido los valores medios que se muestran en la tabla III.

En ella se ve que, igual que en la campaña del 91, la mayoría de los sistemas del 92 hay más sistemas de Tipo II (12 casos). Por otro lado, los sistemas de Tipos II y III de este año presentan valores muy parecidos a los obtenidos en los años anteriores en cuanto a extensión, forma y duración; sin embargo, los de Tipo I, como es natural debido a la presencia de los CCM,

presentan tamaños del orden de dos veces mayores; lo mismo ocurre con el área cubierta por cimas más frías (-48°C) y, lógicamente, también su duración es mayor.

Tipo	Nº Casos	Extensión (miles Km^2)		Eje Mayor (Km)		Excentricidad		Duración Total (Horas)
		-32°C	-48°C	-32°C	-48°C	-32°C	-48°C	
SCM-I	6	316	200	861	864	0.6	0.6	22.3
SCM-II	12	67	39	358	351	0.7	0.8	9.6
SCM-III	5	33	18	253	257	0.8	0.6	6.3

Tabla III.- Características medias de los distintos tipos de SCM (Sep.-Nov. de 1992).

Otra conclusión que puede extraerse de esta tabla respecto a estas estructuras es que, tanto por su escala espacial (ejes entre 253 y 861 Km), como temporal (entre 6 y 22 horas) se trata de fenómenos que evolucionan dentro de la mesoescala.

En cuanto a la forma de estos sistemas (figura 3) en la muestra del 92 los SCM más grandes (Tipo I) son, en promedio, los menos circulares (excentricidades más pequeñas) hecho que se observó también en el 89. En aquella ocasión los más pequeños eran los más redondeados mientras que en el 92 los más redondeados son los de tamaño intermedio.

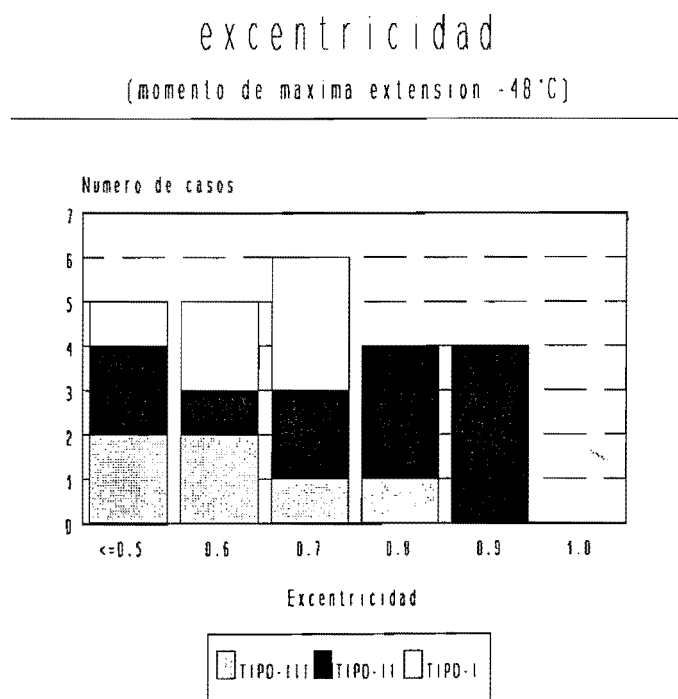


Figura 3.- Excentricidad

2.3. Ciclo diurno

En la figura 4 se representa la duración de los SCM desde la aparición de las primeras tormentas hasta su disipación. En esta campaña se repite la tendencia lógica ya observada de que los sistemas más grandes son los que más duran.

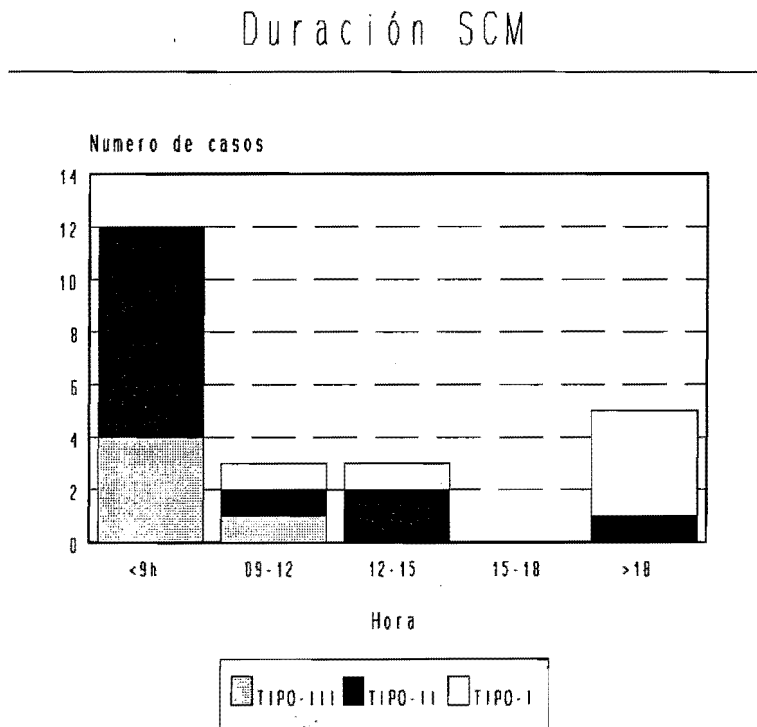


Figura 4.- Duración de los SCM Sep-Nov 1992.

Hora inicio primeras tormentas

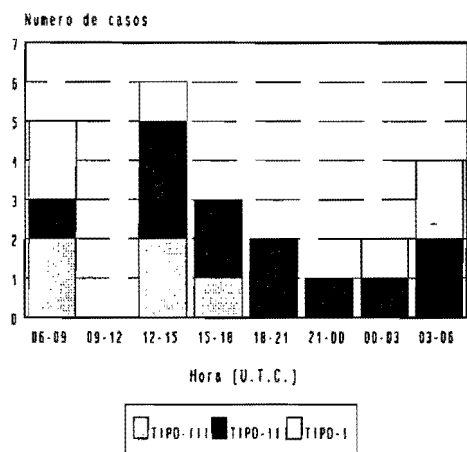


Figura 5.- Hora de inicio de las primeras tormentas.

Hora de máxima extensión (área de -48°C)

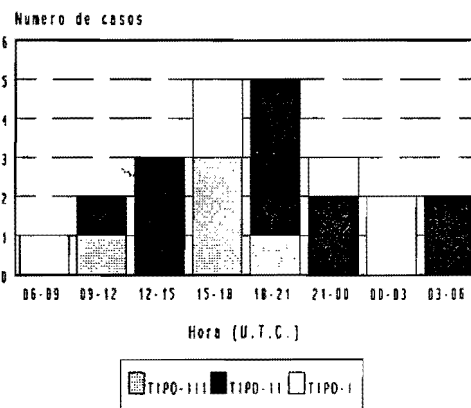


Figura 6.- Hora de máxima extensión del área de -48°C .

Las figuras 5 y 6 muestran, respectivamente, la hora de inicio de las primeras tormentas y la hora de máxima extensión. En otros trabajos realizados sobre SCM, éstos suelen tener un ciclo de vida nocturno con primeras tormentas a la caída de la tarde (alrededor de las 21 horas). Estos fueron los resultados obtenidos para la campaña 89; por el contrario, en las campañas 90, 91 y 92 los SCM presentan tendencia a surgir al comienzo de la tarde y a alcanzar su máxima extensión a últimas horas de la tarde. En concreto para la presente campaña las primeras tormentas (figura 5) presentan un máximo entre 12 y 15Z, aunque destaca también el elevado número de sistemas que surge entre 03 y 09Z. La figura 6 no presenta un máximo tan marcado debido a la diferente duración de los sistemas, sin embargo, se aprecia un máximo entre 15 y 21Z.

2.4. Temperaturas mínimas de las cimas

Esta distribución de temperaturas se representa en la figura 7. En ella se observa, como ya ocurrió en las campañas 89, 90 y 91, que los sistemas más grandes (Tipo I) alcanzan temperaturas más frías, es decir, mayores desarrollos. En la presenta campaña se observa que la mayor parte de los SCM alcanzan temperaturas entre -65 y -70°C . Destaca este año el hecho de que dos sistemas alcanzan desarrollos con $T < -75^{\circ}\text{C}$, temperaturas que no llegaron a alcanzarse en años anteriores y esto se debe, como ya se ha dicho, a que en el 92 ha habido estructuras convectivas de orden superior a los años anteriores (recuérdese que algunas de ellas realmente son CCM).

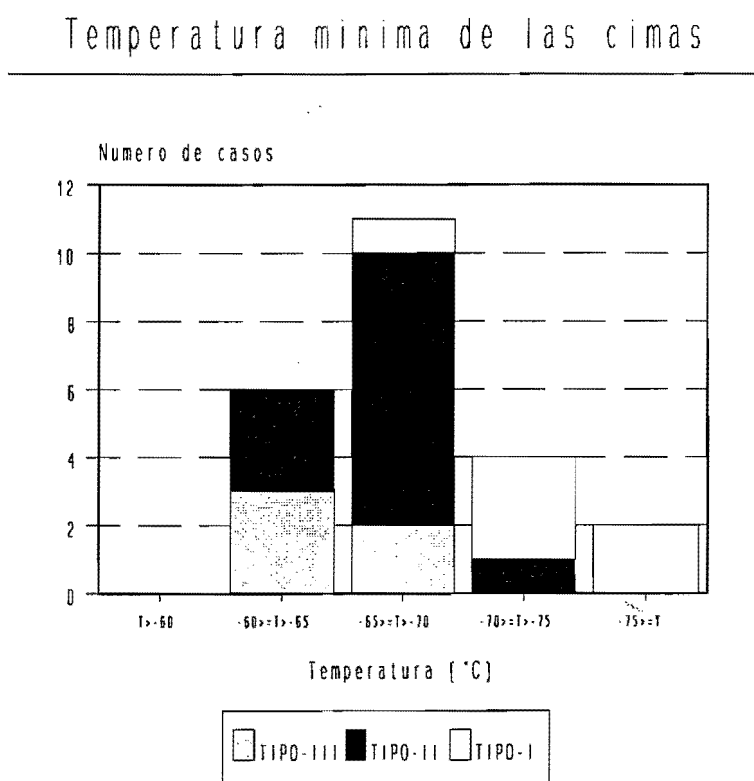


Figura 7.- Temperatura mínima de las cimas.

2.5. Localización geográfica

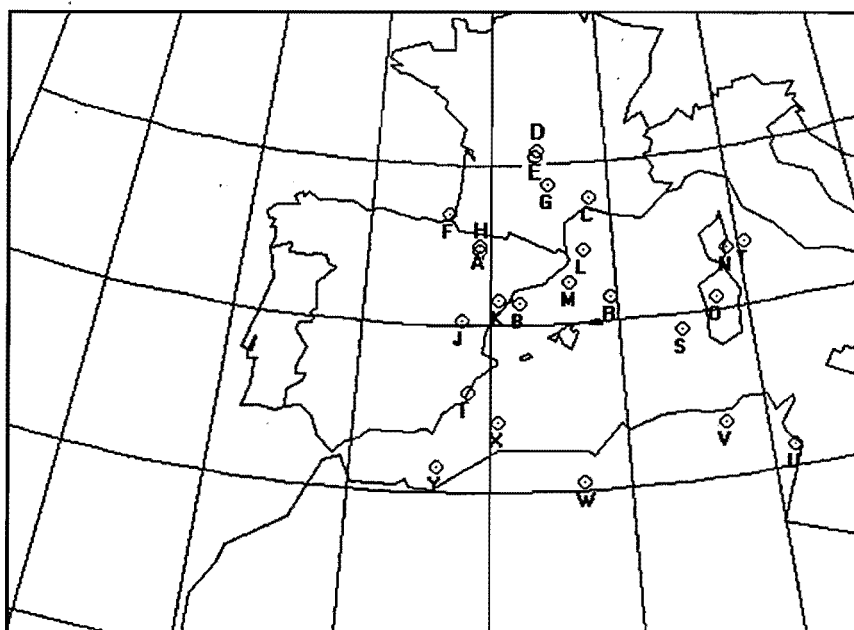


Figura 8.- Localización de las primeras tormentas (Sep-Nov 1992).

En la figura 8 se muestran las posiciones iniciales de los núcleos que dieron lugar a SCM con el nombre que se ha asignado a cada uno. En ella se observa que los núcleos han surgido por igual en el mar o en las proximidades de la costa que en tierra. Llama la atención el hecho de que sólo han surgido cuatro núcleos en el interior de la Península.

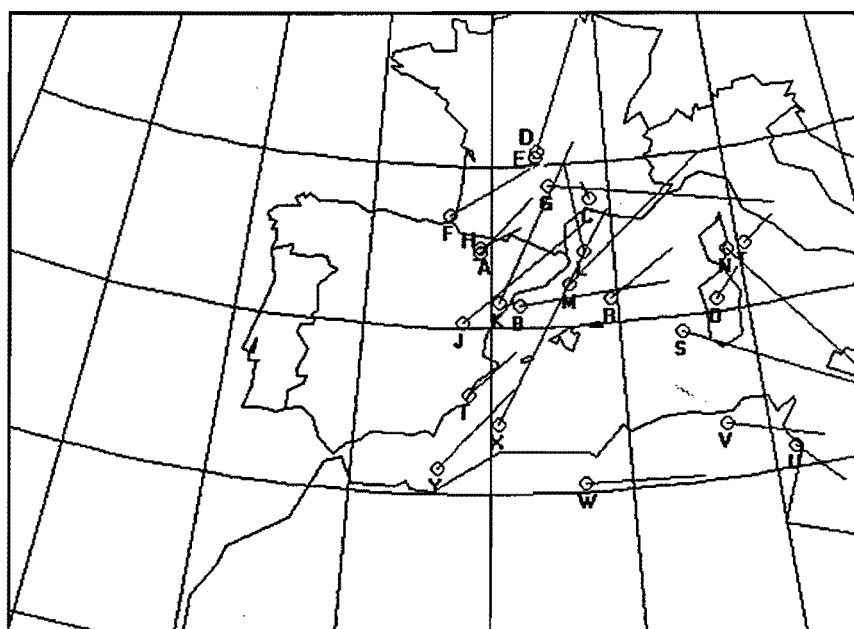


Figura 9.- Trayectorias simplificadas de los SCM (Sep-Nov 1992).

Por otro lado parece como si en esta campaña la actividad convectiva se hubiera desplazado hacia Francia y el Mediterráneo Oriental, áreas donde la ocurrencia de estos fenómenos hasta ahora había sido menor. A pesar de que la actividad convectiva no ha afectado tanto a nuestra zona, por las características de estos fenómenos se ha considerado que su estudio era interesante.

En la figura 9 se muestran las trayectorias que siguieron los sistemas durante su ciclo de vida. Como en años anteriores, se desplazan en general hacia el NE siguiendo el flujo de niveles medios.

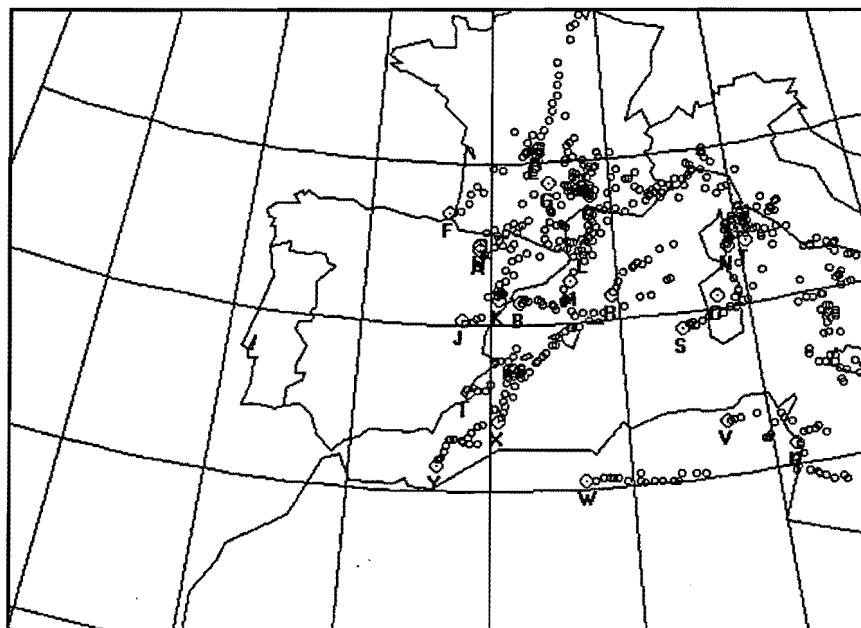


Figura 10.- Posiciones de los centros de SCM (Sep-Nov 1992).

En la figura 10 se representan las posiciones semihorarias de las zonas más activas de los SCM, lo que da idea de la frecuencia relativa de la presencia de estos sistemas. Resalta la gran densidad de puntos en el Golfo de León y Valle del Ródano, al E de Córcega y al S de Ibiza. Esto puede verse también en la figura 11 donde se muestran las isolíneas de frecuencia con que un SCM ha tenido localizado su centro en cajas de 1° de longitud por 1° de latitud. En esta figura se ve cómo en 1992 el máximo (28) se encuentra sobre el Valle del Ródano, y hay otro máximo del mismo orden (25) frente a las costas italianas en el Tirreno. En lo que respecta a nuestra zona, se pueden apreciar dos máximos secundarios: uno en el Mar de Alborán (18), área en la que en 1989 se dio un máximo, y el segundo en el Golfo de León (17), zona en la que hubo actividad convectiva máxima en 1991.

2.6. Ciclo de vida de los SCM

En la presente campaña se ha continuado en la línea de intentar caracterizar el ciclo de vida de los SCM en tres fases: desarrollo, madurez y disipación, siguiendo el modelo de Zipser (Zipser, 1981). Esto se ha hecho utilizando los dos tipos de gráficas que se explican en profundidad en la Nota Técnica nº 9 (Canalejo *et al.*, 1993): la "Gráfica de áreas", según la cual quedarían determinadas las fases de desarrollo y disipación, y el "Índice Convectivo", que indicaría el

comienzo de la fase de madurez. Estas gráficas se incluyen en la Parte II de esta Nota Técnica para todos los SCM seleccionados. En general se ha continuado con el criterio de caracterizar la actividad convectiva de los sistemas a partir de la isoterma de -52°C salvo para aquellos cuyos desarrollos eran pequeños, en cuyo caso se ha tomado la isoterma de -48°C .

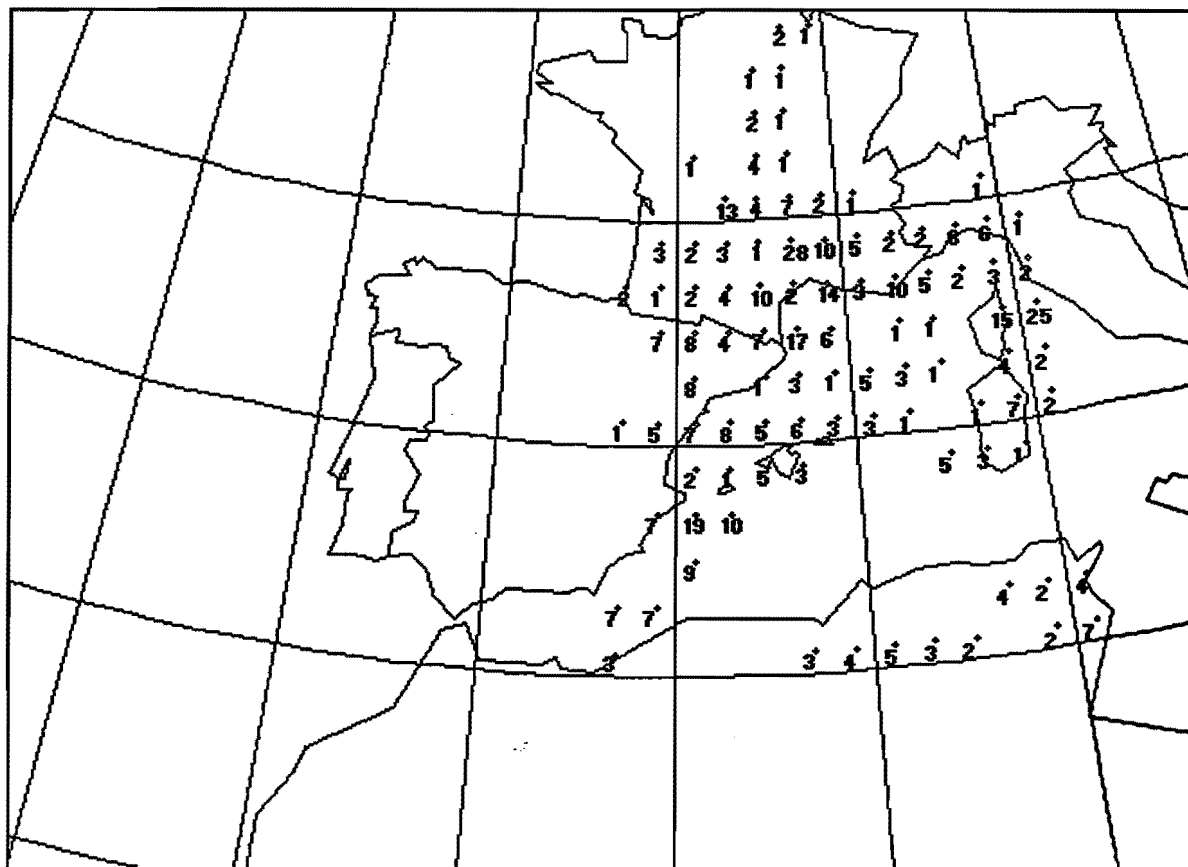


Figura 11.- Frecuencia de localización de los SCM en cajas de $1^{\circ} \times 1^{\circ}$ (Sep-Nov 1992)

3. Conclusiones

Con el estudio de los SCM del año 1992 se amplía la base de datos de que se disponía para la elaboración de una "Climatología" de SCM para el área mediterránea. A partir de los resultados obtenidos en la presente campaña, y teniendo en cuenta que la base de datos es muy limitada, se puede puntualizar lo siguiente:

1. Los SCM que han surgido han alcanzado tamaños y desarrollos mayores que los observados hasta ahora.
2. Parece claro un desplazamiento de la actividad convectiva hacia el NE este año. Llama la atención que, en esta campaña, la única zona del interior peninsular afectada por estos fenómenos ha sido el cuadrante NE.
3. Respecto al ciclo de vida de los SCM, éste queda bien definido si el SCM evoluciona de forma aislada, sobre todo si su duración es pequeña. Sin embargo, si el sistema interacciona

con algún otro núcleo o sistema o bien sufre alguna reactivación, las distintas fases de éste no quedan perfectamente determinadas a partir de la "Gráfica de áreas" y el "Índice Convectivo". Sin embargo, ambas gráficas reflejan bien las distintas interacciones. Esto es tanto más probable cuanto más largo es el ciclo de vida del sistema.

De todos modos queda patente que la base de datos construida a partir de los SCM de sólo un año es claramente insuficiente para extraer conclusiones definitivas. De ahí el interés de elaborar una base de datos conjunta de cuatro o cinco años (89 - 92/93) para elaborar una "Climatología" de estos fenómenos.

4. Referencias

- CANALEJO, M.; CARRETERO, O. y RIOSALIDO, R. (1993). *Sistemas Convectivos de Mesoescala Campaña Previmet Mediterráneo-90*. Nota Técnica S.T.A.P. Nº 9. I.N.M. Madrid.
- CARRETERO, O.; CANALEJO, M. y RIOSALIDO, R. (1993). *Sistemas Convectivos de Mesoescala Campaña Previmet Mediterráneo-91*. Nota Técnica S.T.A.P. Nº 12. I.N.M. Madrid.
- FRITSCH, J. M. and MADDOX, R. A. (1981). *Convectively driven Mesoscale Weather Systems Aloft. Part I: Observations*. Journal of Applied Meteorology. Vol.20.
- MADDOX, R. A. (1980). *Mesoscale Convective Complexes*. Bull. Amer. Met. Soc. Vol.69 pp.1374-1378.
- RIOSALIDO, R. (1990). *Caracterización mediante imágenes de satélite de los Sistemas Convectivos de Mesoescala durante la Campaña Previmet Mediterráneo-89*. II Simposio Nacional de Predicción del I.N.M., Madrid pp. 135-148.
- RIOSALIDO, R. (1991). *Sistemas Convectivos de Mesoescala Campaña Previmet Mediterráneo-89*. Nota Técnica S.T.A.P. Nº1. I.N.M. Madrid.
- RIOSALIDO, R.; RIVERA, A. y MARTIN, R. (1988). *Desarrollo de un Sistema Convectivo de Mesoescala durante la Campaña Previmet Mediterráneo 87*. I Simposio Nacional de Predictores. INM Madrid.
- RIVERA, A. y RIOSALIDO, R. (1986). *Mediterranean Convective Systems as viewed by Meteosat. A case study*. Proceedings of the VI Meteosat User's Meeting. Amsterdam.
- ZIPSER, E. J. (1981). *Utilización de un modelo teórico de ciclo de vida de los Sistemas Convectivos de Mesoescala para mejorar las predicciones a muy corto plazo*. Predicción Inmediata (Versión española de Nowcasting). Madrid, 1990.

ANEXO I

TRAYECTORIAS Y LONGITUDES DE EJES DE LOS SCM

A continuación se presenta un listado con las trayectorias y tamaños de los SCM estudiados en la Campaña Previmet Mediterráneo-90.

En el listado figuran, de izquierda a derecha los siguientes datos:

- SCM Nombre del sistema a que corresponden las medidas
- Día Fecha (juliana) en la que tuvo lugar el SCM
- Hora Hora a la que se realizó la medida que figura a continuación
- LAT/LON Posición del centro del sistema (parte más activa)
- Eje X Longitud, en Km, del eje mayor del SCM considerando el área bajo la isoterma de -32°C.
- Eje N Longitud, en Km, del eje menor del SCM considerando el área bajo la isoterma de -32°C.

Seguimiento de Sistemas Convectivos Mesoscala

Trayectorias y Tamanos de los MCS's

MCS	DAY	TIME	LAT	LON	EJEX	EJEN
A	92252	1530	42:17:01	+00:27:23	59	26
A	92252	1600	42:32:35	+00:18:55	79	73
A	92252	1630	42:48:17	+00:13:49	113	106
A	92252	1700	42:56:09	-00:06:56	180	158
A	92252	1730	42:44:21	-00:15:32	255	150
A	92252	1800	42:36:30	-00:20:39	244	119
A	92252	1830	42:26:45	-00:27:27	236	191
A	92252	1930	42:52:17	-01:02:16	309	245
A	92252	2000	43:00:12	-01:07:37	295	276
A	92252	2030	43:14:07	-01:30:32	294	292
A	92252	2100	43:46:06	-01:17:22	315	295
A	92252	2130	44:02:22	-01:44:17	315	312

B	92253	0830	40:41:52	-01:04:56		
B	92253	0900	40:39:59	-01:08:13		
B	92253	0930	40:41:52	-01:11:35	87	47
B	92253	1000	40:45:39	-01:20:00	119	81
B	92253	1030	40:41:55	-01:26:35	154	133
B	92253	1100	40:43:53	-01:48:17	194	147
B	92253	1130	40:42:03	-01:58:14	227	175
B	92253	1200	40:36:27	-01:59:42	248	144
B	92253	1230	40:34:43	-02:21:16	241	125
B	92253	1300	40:27:19	-02:30:65	271	108
B	92253	1400	40:23:50	-03:05:38	299	132
B	92253	1430	40:16:37	-03:31:46	285	213
B	92253	1500	40:01:57	-03:42:28	294	189
B	92253	1530	40:17:03	-04:18:14	319	186
B	92253	1600	40:23:13	-05:10:16	246	142
B	92253	1630	40:23:13	-05:10:16	228	114
B	92253	1700	40:40:29	-05:48:37	227	118
B	92253	1730	40:40:54	-06:17:11	187	96
B	92253	1830	41:05:57	-06:57:06	109	108
B	92253	1900	41:06:06	-07:05:36	118	95

Seguimiento de Sistemas Convectivos Mesoscala

Trayectorias y Tamanos de los MCS's

MCS	DAY	TIME	LAT	LON	EJEX	EJEN
C	92265	0500	43:53:18	-04:05:12		
C	92265	0600	43:55:19	-04:05:22	115	87
C	92265	0630	44:09:34	-04:10:01	117	95
C	92265	0700	43:57:15	-03:56:40	151	92
C	92265	0730	43:53:18	-04:05:12	176	114
C	92265	0800	44:01:27	-04:09:23	201	136
C	92265	0830	44:03:19	-03:35:35	230	153
C	92265	0900	44:03:13	-03:44:42	238	152
C	92265	0930	44:59:07	-03:09:06	275	160
C	92265	1000	44:05:13	-03:41:18	291	133
C	92265	1030	44:05:10	-03:35:58	294	152
C	92265	1100	44:07:14	-03:41:26	339	175
C	92265	1130	44:09:24	-03:52:15	346	212
C	92265	1200	44:09:21	-03:48:41	344	235
C	92265	1230	44:09:25	-03:55:48	327	243
C	92265	1300	44:05:38	-04:20:22	317	256
C	92265	1330	44:15:41	-04:10:31	327	263
C	92265	1400	44:09:24	-03:52:15	345	267
C	92265	1430	43:56:53	-03:17:43	385	281
C	92265	1500	44:05:00	-03:18:14	399	276
C	92265	1530	44:06:59	-03:13:02	412	254
C	92265	1600	44:13:06	-03:11:38	437	236
C	92265	1630	44:17:11	-03:13:40	384	210
C	92265	1700	44:25:32	-03:33:48	361	213
C	92265	1730	44:27:39	-03:41:05	358	214
C	92265	1800	44:27:42	-03:46:27	278	240

Seguimiento de Sistemas Convectivos Mesoscala

Trayectorias y Tamanos de los MCS's

MCS	DAY	TIME	LAT	LON	EJEX	EJEN
<hr/>						
D	92265	1330	45:27:07	-01:58:04		
D	92265	1400	45:52:35	-02:08:14	77	63
D	92265	1430	46:01:10	-02:17:48	95	67
D	92265	1500	46:20:35	-02:31:40	115	104
D	92265	1530	46:37:58	-02:40:01	128	116
D	92265	1600	46:53:16	-02:42:44	161	122
D	92265	1630	47:08:44	-02:54:54	198	144
D	92265	1700	47:28:44	-02:58:02	205	183
D	92265	1730	47:46:40	-03:02:59	221	208
D	92265	1800	48:11:30	-02:56:55	249	247
D	92265	1830	48:53:16	-03:38:45	286	252
D	92265	1900	49:17:08	-03:43:50	273	214
D	92265	1930	49:21:32	-03:56:53	242	196
D	92265	2000	49:42:59	-04:08:57	240	237
<hr/>						
F	92265	1330	43:28:04	+01:43:03		
F	92265	1400	43:30:02	+01:18:44	106	91
F	92265	1430	43:46:02	+00:58:01	148	137
F	92265	1500	44:02:11	+00:53:01	170	165
F	92265	1530	44:18:25	+00:37:18	186	170
F	92265	1600	44:08:13	+00:21:15	206	175
F	92265	1630	44:51:19	-00:03:35	211	171
F	92265	1700	44:47:11	-00:28:41	225	210
F	92265	1730	45:24:55	-01:39:49	369	206
F	92265	1800	45:18:35	-01:28:45	428	319
F	92265	1830	46:00:49	-00:58:46	476	378
F	92265	1900	45:41:47	-01:31:15	506	379
F	92265	1930	45:31:22	-02:03:42	513	434
F	92265	2000	45:54:36	-01:48:09	645	462
F	92265	2030	45:22:46	-01:27:03	756	599
F	92265	2100	45:14:21	-01:17:46	768	730
F	92265	2130	44:39:05	-01:29:24	1066	705
F	92265	2200	44:43:18	-01:49:14	1139	682
F	92265	2230	45:02:01	-01:58:54	721	565
<hr/>						
E	92265	1400	45:16:36	-01:54:02		
E	92265	1430	45:22:56	-02:05:10	99	63
E	92265	1500	45:18:45	-02:03:11	157	104
E	92265	1530	45:16:35	-01:52:13	177	132
E	92265	1600	45:29:13	-01:58:09	204	137
E	92265	1630	45:20:43	-01:37:52	262	149
E	92265	1700	45:16:33	-01:44:59	297	144
<hr/>						

Seguimiento de Sistemas Convectivos Mesoscala

Trayectorias y Tamanos de los MCS's

MCS	DAY	TIME	LAT	LON	EJEX	EJEN
H	92265	1600	42:26:45	+00:27:27		
H	92265	1630	42:09:16	+00:18:47	68	66
H	92265	1700	42:11:12	+00:15:22	107	92
H	92265	1730	42:11:12	+00:08:32	123	109
H	92265	1800	42:24:48	-00:06:52	142	112
H	92265	1830	42:19:00	-00:44:31	244	235
H	92265	1900	42:30:41	-00:51:33	295	161
H	92265	1930	42:50:15	-00:32:50	301	133
H	92265	2000	43:02:06	-00:39:54	312	176
H	92265	2030	43:08:04	-00:57:21	366	147
H	92265	2100	43:02:12	-01:18:04	307	141

J	92265	1830	40:08:26	+01:09:16		
J	92265	1900	40:02:52	+00:57:38		
J	92265	1930	40:06:31	+00:41:13	66	54
J	92265	2000	40:12:03	+00:34:40	86	80
J	92265	2030	40:15:44	+00:21:29	110	81
J	92265	2100	40:51:09	+00:05:00	169	65
J	92265	2130	40:54:55	-00:06:41	206	84
J	92265	2200	41:23:16	-00:35:22	241	68
J	92265	2230	41:32:48	-00:50:40	248	69
J	92266	0130	42:07:36	-01:52:39	140	133
J	92266	0230	42:27:09	-02:19:04	279	137
J	92266	0300	42:17:33	-02:40:57	280	214
J	92266	0330	42:31:21	-03:04:00	394	256
J	92266	0400	42:35:07	-02:45:15	312	276
J	92266	0430	42:31:22	-03:05:43	284	253
J	92266	0500	42:27:30	-03:10:40	277	262
J	92266	0530	42:27:32	-03:15:49	261	163
J	92266	0600	42:35:33	-03:40:26	232	163
J	92266	0630	42:35:44	-03:59:26	228	198
J	92266	0700	42:55:34	-04:16:31	230	203
J	92266	0730	43:19:19	-04:13:09	269	179

Seguimiento de Sistemas Convectivos. Mesoscala

Trayectorias y Tamanos de los MCS's

MCS	DAY	TIME	LAT	LON	EJEX	EJEN
G	92266	0130	44:22:57	-02:24:08	734	456
G	92266	0230	44:19:07	-03:01:19	462	308
G	92266	0300	44:31:37	-03:25:16	452	271
G	92266	0330	44:37:53	-03:36:26	569	264
G	92266	0400	45:00:49	-03:54:18	634	233
G	92266	0430	44:54:38	-03:57:26	560	299
G	92266	0500	44:27:43	-03:48:14	611	314
G	92266	0530	44:31:51	-03:50:20	656	316
G	92266	0600	44:50:35	-04:07:55	746	397
G	92266	0630	44:50:47	-04:25:57	716	431
G	92266	0700	45:05:26	-04:34:28	735	310
G	92266	0730	44:42:16	-04:03:40	671	323
G	92266	0800	44:29:55	-04:02:42	697	358
G	92266	0830	44:38:17	-04:15:55	763	406
G	92266	0900	44:46:37	-04:22:00	776	429
G	92266	0930	45:15:50	-04:29:57	663	391
G	92266	1000	45:14:13	-05:06:10	666	385
G	92266	1030	44:24:29	-05:03:03	693	359
G	92266	1130	44:41:05	-05:15:28	638	369
G	92266	1200	43:57:53	-04:51:38	400	287
G	92266	1230	44:04:15	-05:13:34	467	274
G	92266	1300	44:19:00	-05:47:13	550	303
G	92266	1330	44:18:55	-05:41:50	576	359
G	92266	1400	44:31:36	-06:08:23	603	365
G	92266	1500	44:02:57	-06:03:15	756	392
G	92266	1530	43:57:03	-06:13:16	801	426
G	92266	1600	43:51:15	-06:30:20	819	444
G	92266	1630	43:45:21	-06:38:28	815	458
G	92266	1700	43:55:35	-06:46:53	833	395
G	92266	1730	43:45:51	-07:06:56	797	407
G	92266	1800	44:08:54	-07:47:43	734	437
G	92266	1830	44:07:11	-08:03:35	517	443
G	92266	1900	44:13:38	-08:20:46	592	394
G	92266	1930	44:32:10	-08:25:35	564	445
G	92266	2000	44:36:10	-08:20:47	618	482
G	92266	2030	44:19:54	-08:27:11	639	479
G	92266	2100	44:24:08	-08:33:18	503	480
G	92266	2130	44:04:30	-09:06:02	524	476
G	92266	2200	44:24:12	-08:36:54	668	385
G	92266	2230	44:20:29	-08:52:34	677	369

Seguimiento de Sistemas Convectivos Mesoscala

Trayectorias y Tamanos de los MCS's

MCS	DAY	TIME	LAT	LON	EJEX	EJEN
G	92267	0130	43:44:09	-08:58:58	846	503
G	92267	0200	43:32:42	-09:23:47	733	506
G	92267	0230	43:43:03	-09:38:08	722	495
G	92267	0300	43:45:26	-09:52:55	708	511
G	92267	0330	44:10:18	-10:15:44	620	508
G	92267	0400	42:45:43	-09:49:04	666	500
G	92267	0430	43:04:03	-10:11:56	754	495
G	92267	0500	42:54:11	-10:11:51	842	423
G	92267	0530	43:02:04	-10:11:33	729	401
G	92267	0600	42:54:35	-10:27:50	445	391
G	92267	0700	42:55:18	-10:54:36	305	212
G	92267	0730	43:13:31	-11:09:01	259	220
G	92267	0830	42:46:28	-11:30:04	250	185
G	92267	0900	42:50:19	-11:27:19	308	164
G	92267	0930	43:00:35	-11:41:58	294	176
G	92267	1000	43:00:49	-11:49:12	280	153

R	92266	1600	40:47:06	-04:40:31		
R	92266	1630	40:50:55	-04:45:51		
R	92266	1700	41:00:25	-04:55:02		
R	92266	1730	41:11:49	-05:01:03	124	106
R	92266	1800	41:27:10	-05:14:16	133	120
R	92266	1830	41:33:11	-05:36:55	149	145
R	92266	1900	41:37:04	-05:42:24	186	163
R	92266	1930	41:42:54	-05:48:06	247	166
R	92266	2000	41:37:22	-06:02:52	274	182
R	92266	2030	41:45:17	-06:19:06	258	223
R	92266	2100	42:04:58	-06:47:08	330	246
R	92266	2130	42:09:27	-07:22:11	335	270

Séguimiento de Sistemas Convectivos Mesoscala

Trayectorias y Tamanos de los MCS's

MCS	DAY	TIME	LAT	LON	EJEX	EJEN
S	92267	0630	39:33:39	-07:21:09		
S	92267	0700	39:37:34	-07:36:31	53	48
S	92267	0730	39:41:23	-07:45:18	123	48
S	92267	0830	39:39:23	-07:35:06	126	78
S	92267	0900	39:35:57	-07:47:55	131	115
S	92267	0930	39:41:45	-08:05:15	207	118
S	92267	1000	39:49:26	-08:22:57	223	147
S	92267	1030	39:50:04	-08:54:43	239	128
S	92267	1100	40:01:28	-09:11:30	212	203
S	92267	1130	39:58:06	-09:26:03	247	214
S	92267	1200	40:09:27	-09:39:37	279	227
S	92267	1230	40:26:05	-09:37:16	326	227
S	92267	1300	40:09:48	-09:54:50	356	245
S	92267	1330	40:30:37	-10:11:55	625	359
S	92267	1400	40:59:26	-10:40:57	585	405
S	92267	1430	42:12:38	-11:05:27	664	459
S	92267	1500	41:58:48	-10:53:58	577	540
S	92267	1530	41:40:13	-11:16:26	620	561
S	92267	1600	42:01:30	-11:22:29	625	483
S	92267	1630	40:27:54	-12:00:27	676	469
S	92267	1700	39:48:46	-11:47:30	719	513
S	92267	1730	39:51:09	-12:06:36	686	436
S	92267	1800	39:49:44	-12:21:34	585	361
S	92267	1830	39:54:01	-12:42:51	695	411
S	92267	1900	39:52:17	-12:45:55	648	382
S	92267	1930	39:34:01	-12:47:05	643	356
S	92267	2000	39:30:07	-12:54:51	399	331
S	92267	2030	39:15:50	-12:46:37	401	296
S	92267	2100	39:12:00	-12:39:07	385	217
S	92267	2130	38:59:29	-12:43:14	401	225
S	92267	2200	38:13:19	-11:49:15	436	192
S	92267	2230	38:20:22	-11:47:15	447	191
S	92268	0130	37:56:08	-12:07:25	411	255
S	92268	0200	37:52:55	-12:18:19	397	316
S	92268	0230	37:18:37	-12:42:49	395	328
S	92268	0300	37:11:43	-12:44:44	408	340
S	92268	0330	37:44:12	-13:22:29	410	330
S	92268	0400	37:32:22	-13:36:31	493	278
S	92268	0430	37:20:38	-13:52:09	520	311
S	92268	0500	36:59:56	-13:52:52	494	215
S	92268	0530	36:54:52	-13:59:45	392	219
S	92268	0600	36:44:52	-14:10:44	316	172
S	92268	0630	36:40:50	-14:11:10	395	132

Seguimiento de Sistemas Convectivos Mesoscala

Trayectorias y Tamanos de los MCS's

MCS	DAY	TIME	LAT	LON	EJEX	EJEN
T	92267	0830	41:59:41	-10:14:01		
T	92267	0900	42:09:25	-10:17:33		
T	92267	0930	42:21:18	-10:26:47	78	72
T	92267	1000	42:23:17	-10:28:54	121	94
T	92267	1030	42:31:02	-10:26:51	165	119
T	92267	1100	42:42:44	-10:25:35	198	176
T	92267	1130	42:48:39	-10:26:42	221	184
T	92267	1200	42:44:30	-11:29:40	261	235
T	92267	1230	42:42:16	-11:20:19	272	256
T	92267	1300	42:42:40	-11:34:35	286	260

U	92267	1230	35:39:47	-10:44:22		
U	92267	1300	35:38:19	-10:53:36	60	52
U	92267	1330	35:34:52	-10:49:55	93	92
U	92267	1400	35:19:53	-10:55:27	118	117
U	92267	1430	35:17:51	-10:39:25	150	120
U	92267	1500	35:14:25	-10:35:45	163	143
U	92267	1530	35:02:50	-10:38:43	181	154
U	92267	1600	34:52:43	-10:32:31	198	144
U	92267	1630	34:50:01	-11:00:14	211	162
U	92267	1700	34:45:24	-11:15:09	195	144
U	92267	1730	34:38:50	-11:17:15	176	131
U	92267	1800	34:35:50	-11:30:49	169	124
U	92267	1830	34:27:59	-11:46:45	149	81
U	92267	1900	34:28:29	-12:07:09	127	41
U	92267	1930	34:23:38	-12:11:01		

V	92267	1430	36:39:52	-08:28:45		
V	92267	1500	36:38:16	-08:34:54		
V	92267	1530	36:38:26	-08:44:26	81	78
V	92267	1600	36:40:25	-08:57:25	118	111
V	92267	1630	36:44:34	-09:33:01	139	117
V	92267	1700	35:58:44	-09:44:00	183	106
V	92267	1730	35:57:09	-09:50:04	215	205
V	92267	1800	36:02:20	-09:54:00	250	159
V	92267	1830	36:22:59	-10:04:57	290	172
V	92267	1900	36:37:02	-10:21:26	305	169
V	92267	1930	36:26:54	-10:27:50	333	178
V	92267	2000	36:22:05	-10:41:26	343	180
V	92267	2030	35:58:48	-11:03:13	354	165
V	92267	2100	35:59:06	-11:15:59	330	178
V	92267	2130	35:59:20	-11:25:33	341	144
V	92267	2200	36:06:23	-11:36:19	351	131
V	92267	2230	35:51:26	-11:48:06	280	136

Seguimiento de Sistemas Convectivos.Mesoscala

Trayectorias y Tamanos de los MCS's

MCS	DAY	TIME	LAT	LON	EJEX	EJEN
W	92267	1430	35:18:01	-03:19:16		
W	92267	1500	35:16:30	-03:37:37		
W	92267	1530	35:21:39	-03:56:20	117	44
W	92267	1600	35:20:06	-04:10:05	137	71
W	92267	1630	35:20:11	-04:19:20	152	93
W	92267	1700	35:20:15	-04:27:02	229	118
W	92267	1730	35:12:06	-04:46:30	314	125
W	92267	1800	35:22:25	-05:13:24	334	144
W	92267	1830	35:10:43	-05:14:05	338	133
W	92267	1900	35:05:48	-05:21:24	345	191
W	92267	1930	35:09:21	-05:40:08	271	242
W	92267	2000	35:07:54	-05:56:57	278	220
W	92267	2030	35:04:53	-06:21:21	314	190
W	92267	2100	35:01:42	-06:31:50	286	189
W	92267	2130	35:16:51	-06:42:31	228	219
W	92267	2200	35:15:34	-07:08:41	195	133
W	92267	2230	35:12:34	-07:30:04	229	129

I	92270	0600	38:00:19	+00:51:00		
I	92270	0630	38:05:37	+00:54:16	56	49
I	92270	0700	38:03:51	+00:52:39	82	75
I	92270	0730	38:07:22	+00:38:19	109	107
I	92270	0800	38:03:49	+00:28:43	135	133
I	92270	0830	38:03:49	+00:30:19	169	154
I	92270	0900	38:03:48	+00:12:46	186	160
I	92270	0930	38:14:25	+00:00:00	193	169
I	92270	1000	38:50:05	-00:06:28	200	164
I	92270	1030	38:57:16	-00:12:57	201	198
I	92270	1100	38:53:40	-00:21:01	205	198
I	92270	1130	38:57:17	-00:38:50	203	178
I	92270	1200	39:02:42	-00:48:36	176	146
I	92270	1230	39:19:00	-00:56:57	149	109

Seguimiento de Sistemas Convectivos Mesoscala

Trayectorias y Tamanos de los MCS's

MCS	DAY	TIME	LAT	LON	EJEX	EJEN
K	92270	0730	40:47:25	-00:18:20		
K	92270	0800	40:54:55	-00:15:02		
K	92270	0830	40:58:42	-00:21:45		
K	92270	0900	41:00:33	-00:26:47	113	84
K	92270	0930	40:58:40	-00:30:06	140	116
K	92270	1000	41:02:26	-00:21:46	188	169
K	92270	1030	41:02:26	-00:16:45	256	192
K	92270	1100	40:53:02	-00:16:42	278	170
K	92270	1130	40:56:47	-00:26:45	279	205
K	92270	1200	41:15:39	-00:18:29	313	236
K	92270	1230	41:40:25	-00:35:33	320	295
K	92270	1330	41:57:42	-00:47:38	419	363
K	92270	1400	42:01:38	-01:06:26	474	432
K	92270	1430	42:11:20	-01:23:43	540	415
K	92270	1500	42:38:47	-02:07:29	604	381
K	92270	1530	42:54:31	-02:08:05	637	422
K	92270	1600	42:54:31	-02:08:05	665	423
K	92270	1630	42:54:31	-02:08:05	693	429
K	92270	1700	43:08:26	-02:22:33	749	415
K	92270	1730	43:28:22	-02:26:56	754	411
K	92270	1800	43:26:22	-02:28:35	780	402
K	92270	1830	43:30:21	-02:25:16	780	397
K	92270	1900	43:04:36	-02:39:46	598	391
K	92270	1930	43:00:45	-02:55:13	605	413
K	92270	2000	42:58:49	-03:03:47	661	446
K	92270	2030	43:00:44	-02:53:28	680	435
K	92270	2100	43:06:38	-02:50:18	529	431
K	92270	2130	43:40:34	-02:52:06	447	435
K	92270	2200	43:56:37	-02:42:22	438	417
K	92270	2230	44:05:08	-03:32:25	462	394
K	92270	2300	44:09:12	-03:32:41	486	405
K	92271	0130	45:08:53	-03:25:57	449	329
K	92271	0200	45:19:16	-03:17:35	454	358
K	92271	0230	45:29:46	-03:14:37	459	362
K	92271	0300	46:27:24	-03:14:42	414	374
K	92271	0330	45:38:17	-03:24:18	420	375
K	92271	0400	45:44:45	-03:37:34	348	331

L	92270	2300	42:18:05	-03:46:10		
L	92271	0130	42:18:08	-03:51:19		
L	92271	0200	42:27:52	-03:51:59	100	80
L	92271	0230	42:59:19	-03:57:41	139	171
L	92271	0300	43:09:18	-04:07:08	220	208
L	92271	0330	43:25:09	-04:01:19	343	184
L	92271	0400	43:59:19	-04:00:21	422	240
L	92271	0430	44:19:31	-03:45:51	495	234
L	92271	0500	44:09:17	-03:41:34	150	112
L	92271	0530	44:39:49	-03:24:01	161	99
L	92271	0600	45:02:28	-03:07:28		

Seguimiento de Sistemas Convectivos Mesoscala

Trayectorias y Tamanos de los MCS's

MCS	DAY	TIME	LAT	LON	EJEX	EJEN
M	92271	0300	41:18:17	-03:06:50		
M	92271	0330	41:33:32	-03:14:25	181	156
M	92271	0400	42:15:47	-03:04:51	197	127
M	92271	0430	42:04:42	-04:05:47	230	89
M	92271	0500	42:29:57	-04:07:38	455	126
M	92271	0530	42:43:53	-04:29:27	546	158
M	92271	0600	43:03:50	-04:48:33	638	173
M	92271	0630	43:27:55	-05:06:30	724	224
M	92271	0700	43:18:17	-05:31:54	780	232
M	92271	0730	43:32:35	-05:54:30	901	270
M	92271	0830	43:35:05	-06:24:49	918	316
M	92271	0900	43:45:23	-06:40:15	921	318
M	92271	0930	43:45:23	-06:40:15	739	345
M	92271	1000	43:49:33	-06:47:53	783	346
M	92271	1030	43:57:50	-06:59:39	779	303
M	92271	1100	44:06:11	-07:13:17	768	317
M	92271	1130	43:43:17	-06:34:41	777	342
M	92271	1200	43:39:46	-07:04:22	708	346
M	92271	1230	43:45:56	-07:12:17	611	354
M	92271	1300	43:58:24	-07:30:05	666	359
M	92271	1330	43:34:37	-07:49:46	664	356
M	92271	1400	43:57:10	-08:09:13	679	394
M	92271	1430	44:51:32	-09:01:35	641	385
M	92271	1500	44:55:44	-09:04:10	666	368
M	92271	1530	44:51:40	-09:07:06	701	347
M	92271	1600	44:43:27	-09:09:16	621	307
M	92271	1630	44:31:24	-09:21:39	683	284
M	92271	1700	45:01:55	-09:01:36	270	268

Seguimiento de Sistemas Convectivos Mesoscala

Trayectorias y Tamanos de los MCS's

MCS	DAY	TIME	LAT	LON	EJEX	EJEN
N	92271	0430	41:52:49	-09:29:24		
N	92271	0500	41:54:47	-09:31:27		
N	92271	0530	41:58:32	-09:26:53	143	82
N	92271	0600	42:06:35	-09:40:27	147	105
N	92271	0630	42:04:28	-09:33:07	187	126
N	92271	0700	42:06:30	-09:36:57	214	149
N	92271	0730	42:10:17	-09:34:06	246	139
N	92271	0830	42:21:44	-09:25:36	293	168
N	92271	0900	42:33:32	-09:31:07	324	209
N	92271	0930	42:35:35	-09:34:59	272	240
N	92271	1000	42:25:51	-09:35:03	300	237
N	92271	1030	42:35:35	-09:34:59	350	247
N	92271	1100	42:26:04	-09:43:51	389	259
N	92271	1130	42:22:01	-09:37:52	410	243
N	92271	1200	42:39:49	-09:48:01	368	272
N	92271	1230	42:44:15	-10:08:13	358	249
N	92271	1300	42:42:17	-10:07:52	393	271
N	92271	1330	42:34:35	-10:13:27	448	255
N	92271	1400	42:38:27	-10:15:40	423	281
N	92271	1430	42:38:43	-10:21:17	432	284
N	92271	1500	42:32:43	-10:16:38	427	334
N	92271	1530	42:34:22	-10:04:38	510	322
N	92271	1600	42:30:50	-10:19:47	562	314
N	92271	1630	42:19:12	-10:21:07	557	399
N	92271	1700	42:26:53	-10:17:18	514	403
N	92271	1730	42:40:24	-10:11:02	779	402
N	92271	1830	42:35:53	-09:47:18	783	433
N	92271	2030	42:16:00	-10:46:49	736	462
N	92271	2100	42:04:36	-10:55:05	731	487
N	92271	2130	42:15:48	-10:39:45	783	514
N	92271	2200	42:18:51	-10:07:03	795	511
N	92271	2230	42:08:51	-09:54:46	718	701
N	92271	2300	42:17:18	-10:22:31	762	592
N	92272	0130	42:15:22	-11:34:08	971	679
N	92272	0200	42:10:11	-11:55:55	1027	668
N	92272	0230	41:26:59	-12:26:49	1127	748
N	92272	0300	41:25:36	-12:43:57	1198	688
N	92272	0330	41:23:38	-12:41:46	913	696
N	92272	0400	41:35:35	-12:58:30	971	515
N	92272	0430	41:26:46	-13:20:58	1002	498
N	92272	0500	41:23:34	-13:39:29	979	509
N	92272	0530	41:15:35	-13:27:04	955	503
N	92272	0600	41:19:34	-13:33:16	973	504
N	92272	0630	41:04:27	-13:33:11	944	473
N	92272	0700	40:54:20	-14:09:04	854	498

Seguimiento de Sistemas Convectivos Mesoscala

Trayectorias y Tamanos de los MCS's

MCS	DAY	TIME	LAT	LON	EJEX	EJEN
N	92272	0730	40:49:05	-14:20:01	873	400
N	92272	0800	40:37:04	-13:16:12	839	447
N	92272	1000	40:19:11	-13:20:55	501	496
N	92272	1030	40:21:26	-13:33:30	581	467
N	92272	1100	40:54:09	-14:03:48	392	365
N	92272	1200	40:27:10	-13:38:17	355	280
N	92272	1230	40:17:42	-13:32:37	213	185
N	92272	1300	40:02:49	-13:29:13	204	203
N	92272	1400	40:07:18	-13:54:16	283	200
N	92272	1430	40:05:12	-13:46:53	295	234
N	92272	1530	39:24:34	-12:34:58	431	206
N	92272	1600	39:20:05	-13:07:47	473	212
N	92272	1630	39:19:56	-13:02:41	519	196
N	92272	1700	39:16:23	-13:05:19	477	225
N	92272	1730	39:09:03	-13:02:03	521	197
N	92272	1800	39:06:56	-12:51:29	541	252
N	92272	1830	38:42:53	-12:28:08	596	247
N	92272	1900	38:43:16	-12:41:33	577	265
N	92272	1930	38:38:34	-13:04:00	541	240
N	92272	2000	38:00:39	-12:42:54	505	244
N	92272	2030	38:00:22	-12:32:56	575	237
N	92272	2100	37:48:15	-12:40:26	574	237
N	92272	2130	37:37:54	-12:46:36	593	207
N	92272	2200	37:29:33	-12:59:44	196	137
N	92272	2230	37:19:48	-13:24:01	234	145
N	92272	2300	37:11:56	-13:51:54	225	124

O	92271	1830	40:25:04	-08:49:52		
O	92271	2030	40:14:43	-09:27:01	228	150
O	92271	2100	40:31:41	-09:38:11	243	190
O	92271	2130	40:52:08	-09:33:03	296	220
O	92271	2200	41:17:02	-09:49:11	311	226

Seguimiento de Sistemas Convectivos Mesoscala

Trayectorias y Tamanos de los MCS's

MCS	DAY	TIME	LAT	LON	EJEX	EJEN
X	92282	0130	37:07:52	-00:17:18	160	68
X	92282	0200	37:16:32	-00:22:04	147	72
X	92282	0230	37:23:30	-00:26:51	135	80
X	92282	0300	37:35:43	-00:31:41	110	100
X	92282	0330	37:56:46	-00:28:40	113	95
X	92282	0400	38:16:13	-00:36:49	115	86
X	92282	0430	38:26:53	-00:40:07	113	104
X	92282	0500	38:34:00	-00:38:35	147	90
X	92282	0530	38:28:09	-00:35:19	165	134
X	92282	0600	38:35:47	-00:37:00	193	156
X	92282	0630	38:39:21	-00:37:02	207	146
X	92282	0700	38:42:56	-00:37:04	236	166
X	92282	0730	38:28:40	-00:48:10	279	187
X	92282	0800	38:32:13	-00:38:34	304	203
X	92282	0830	38:32:14	-00:49:49	318	212
X	92282	0900	38:41:10	-00:45:06	320	218
X	92282	0930	38:44:45	-00:51:36	313	222
X	92282	1000	38:26:56	-01:05:48	322	238
X	92282	1030	38:32:16	-01:05:54	300	252
X	92282	1100	38:37:36	-00:59:33	296	240
X	92282	1130	38:44:47	-01:07:43	341	217
X	92282	1200	38:43:00	-01:09:18	326	243
X	92282	1230	38:35:50	-01:05:57	366	281
X	92282	1300	38:25:09	-01:08:59	351	300
X	92282	1330	38:26:58	-01:15:26	389	293
X	92282	1400	38:34:08	-01:28:27	501	409
X	92282	1430	38:50:16	-01:40:08	476	404
X	92282	1500	38:53:52	-01:43:27	506	401
X	92282	1530	39:02:55	-01:55:04	492	400
X	92282	1600	39:10:11	-02:03:24	545	381
X	92282	1630	39:22:56	-02:16:52	438	266
X	92282	1700	39:21:11	-02:28:13	469	260
X	92282	1730	39:37:36	-02:35:26	530	270
X	92282	1800	39:45:00	-02:48:52	452	266
X	92282	1830	39:52:25	-03:00:44	459	252
X	92282	1900	39:52:26	-03:04:01	471	243
X	92282	1930	39:54:25	-03:22:14	451	254
X	92282	2000	40:14:37	-03:13:26	453	250
X	92282	2030	40:44:13	-02:46:40	479	232

Seguimiento de Sistemas Convectivos Mesoscala

Trayectorias y Tamanos de los MCS's

MCS	DAY	TIME	LAT	LON	EJEX	EJEN
X	92282	2100	41:01:08	-02:50:49	439	222
X	92282	2130	40:14:59	-03:56:32	464	245
X	92282	2200	40:31:01	-02:26:06	459	245
X	92282	2230	40:38:37	-02:49:44	497	254
X	92282	2300	40:49:58	-03:07:00	487	226
X	92283	0130	42:04:16	-03:17:53	343	209
X	92283	0200	42:12:05	-03:28:37	354	236
X	92283	0230	41:52:57	-03:44:30	376	238
X	92283	0300	42:04:29	-03:41:50	395	223
X	92283	0330	42:23:52	-03:43:06	386	182
X	92283	0400	42:37:39	-03:54:24	420	179
X	92283	0430	42:45:38	-04:08:49	427	190
X	92283	0500	42:49:31	-04:03:55	250	151
X	92283	0530	43:05:22	-04:10:19	253	196
X	92283	0600	43:21:12	-04:04:32	175	132
X	92283	0630	43:27:25	-04:26:03	195	126
X	92283	0700	43:25:35	-04:39:56	162	89
X	92283	0730	43:35:40	-04:46:06	124	48

Y	92282	0300	35:46:06	+01:57:12		
Y	92282	0330	35:57:52	+01:46:42	65	28
Y	92282	0400	35:57:54	+01:51:21	94	42
Y	92282	0430	36:01:15	+01:45:15	181	49
Y	92282	0500	36:13:08	+01:40:53	209	69
Y	92282	0530	36:23:19	+01:36:28	230	84
Y	92282	0600	36:36:59	+01:30:33	245	104
Y	92282	0630	36:35:16	+01:25:49	279	131
Y	92282	0700	36:35:14	+01:19:35	318	158
Y	92282	0730	36:33:29	+01:02:23	336	180
Y	92282	0800	36:31:46	+00:56:07	322	196
Y	92282	0830	36:26:37	+00:45:09	382	204
Y	92282	0900	36:26:35	+00:29:35	409	216
Y	92282	0930	36:38:36	+00:49:58	419	227
Y	92282	1000	36:47:10	+00:39:07	343	236
Y	92282	1030	36:57:30	+00:28:14	322	260
Y	92282	1100	36:59:12	+00:17:16	297	244
Y	92282	1130	37:28:43	-00:06:19	341	237
Y	92282	1200	37:28:43	-00:11:04	348	239
Y	92282	1230	37:40:57	-00:25:23	340	211
Y	92282	1300	37:51:31	-00:47:42	353	230
Y	92282	1330	38:12:42	-00:54:22	367	208

Seguimiento de Sistemas Convectivos Mesoscala

Trayectorias y Tamanos de los MCS's

MCS	DAY	TIME	LAT	LON	EJEX	EJEN
Z	92359	1100	39:11:42	+00:19:29		
Z	92359	1130	39:20:45	+00:21:10		
Z	92359	1200	39:28:02	+00:17:57		
Z	92359	1230	39:26:12	+00:13:03	48	36
Z	92359	1300	39:24:23	+00:11:24	75	47
Z	92359	1330	39:26:12	+00:11:25	81	56
Z	92359	1400	39:26:12	+00:08:09	88	73
Z	92359	1430	39:29:50	+00:01:38	102	97
Z	92359	1500	39:26:12	+00:00:00	119	98
Z	92359	1530	39:15:29	-00:01:38	162	107
Z	92359	1600	39:18:56	-00:01:38	163	77
Z	92359	1630	39:11:42	-00:04:52	151	89
Z	92359	1700	39:13:30	-00:08:07	147	90
Z	92359	1730	39:17:08	-00:16:16	170	100
Z	92359	1800	39:20:45	-00:21:10	190	115
Z	92359	1830	39:22:34	-00:21:10	129	117
Z	92359	1900	39:26:13	-00:26:05	116	95
Z	92359	1930	39:26:13	-00:35:52	97	82
Z	92359	2000	39:28:02	-00:32:37	111	75
Z	92359	2030	39:29:51	-00:34:16	104	82
Z	92359	2100	39:31:40	-00:32:39	85	75
Z	92359	2130	39:42:37	-00:29:29	107	90
Z	92359	2200	39:57:17	-00:26:18	131	88
Z	92359	2230	39:37:08	-00:27:48	130	60
Z	92359	2300	39:38:58	-00:31:05	76	70
Z	92359	2330	39:42:37	-00:32:45	88	82
Z	92359	2400	39:48:07	-00:31:10	95	77
Z	92360	0030	39:59:08	-00:32:54	87	68
Z	92360	0100	39:37:08	-00:34:20	120	51
Z	92360	0130	39:44:28	-00:39:19	147	54

ANEXO II

VALORES ESTADÍSTICOS DE TEMPERATURA DE LAS CIMAS NUBOSAS

A continuación se presenta un listado con los parámetros estadísticos básicos, obtenidos a partir del SAIDAS, para cada SCM estudiado en la Campaña Previmet Mediterráneo-90.

En el listado figuran, de izquierda a derecha los siguientes datos:

- SCM Nombre del sistema a que corresponden las medidas
- Día Fecha (juliana) en la que tuvo lugar el SCM
- Hora Hora a la que se realizó la medida que figura a continuación
- T.M Temperatura media del SCM, medida en °C
- SDB Desviación típica de las temperaturas del SCM, medida en °C
- MED Mediana de las temperaturas del SCM, medida en °C
- MOD Moda de las temperaturas del SCM, medida en °C
- T.MIN Temperatura mínima de las cimas del SCM, medida en °C

Seguimiento de Sistemas Convectivos Mesoscala

Valores Estadísticos de Temp. Topes Nubosos (°C)

MCS	DIA	HORA	T.M.	SDB	MED	MOD	T.MIN
A	92252	1530	-45	5.6	-46	-49	-53
A	92252	1600	-45	7.2	-47	-53	-55
A	92252	1630	-44	7.3	-46	-39	-58
A	92252	1700	-46	7.6	-47	-54	-58
A	92252	1730	-47	6.7	-50	-51	-58
A	92252	1800	-49	6.5	-51	-56	-61
A	92252	1830	-50	7.6	-53	-56	-62
A	92252	1930	-46	8.2	-49	-54	-61
A	92252	2000	-46	7.4	-49	-50	-58
A	92252	2030	-45	6.4	-46	-53	-55
A	92252	2100	-44	5.9	-44	-39	-54
A	92252	2130	-42	5.4	-43	-39	-53
<hr/>							
B	92253	0930	-40	5.3	-41	-32	-51
B	92253	1000	-44	5.0	-45	-47	-56
B	92253	1030	-44	5.2	-44	-42	-56
B	92253	1100	-43	4.7	-44	-42	-53
B	92253	1130	-43	3.8	-44	-45	-53
B	92253	1200	-43	4.1	-43	-42	-57
B	92253	1230	-42	4.9	-43	-42	-58
B	92253	1300	-42	5.5	-43	-42	-60
B	92253	1400	-42	5.9	-42	-42	-59
B	92253	1430	-42	5.9	-43	-42	-62
B	92253	1500	-43	5.2	-43	-42	-57
B	92253	1530	-42	5.3	-43	-42	-53
B	92253	1600	-41	5.0	-42	-42	-51
B	92253	1630	-40	4.4	-40	-38	-49
B	92253	1700	-38	3.7	-39	-42	-46
B	92253	1730	-37	3.6	-37	-36	-49
B	92253	1830	-37	2.7	-38	-38	-42
B	92253	1900	-35	2.3	-36	-36	-41

Seguimiento de Sistemas Convectivos. Mesoscala

Valores Estadísticos de Temp. Topes Nubosos (°C)

MCS	DIA	HORA	T.M.	SDB	MED	MOD	T.MIN
C	92265	0600	-47	7.9	-48	-55	-61
C	92265	0630	-49	7.6	-52	-58	-60
C	92265	0700	-51	7.6	-53	-58	-60
C	92265	0730	-53	7.1	-56	-58	-60
C	92265	0800	-52	6.8	-54	-58	-60
C	92265	0830	-51	7.4	-54	-58	-62
C	92265	0900	-50	7.7	-53	-58	-62
C	92265	0930	-50	8.6	-54	-58	-64
C	92265	1000	-51	8.3	-54	-58	-64
C	92265	1030	-52	8.0	-54	-58	-64
C	92265	1100	-51	8.5	-55	-59	-64
C	92265	1130	-52	8.7	-55	-58	-64
C	92265	1200	-52	8.4	-55	-58	-63
C	92265	1230	-52	8.5	-56	-58	-64
C	92265	1300	-51	8.1	-55	-58	-63
C	92265	1330	-51	8.2	-55	-56	-63
C	92265	1400	-51	7.8	-54	-54	-63
C	92265	1430	-50	7.8	-52	-56	-63
C	92265	1500	-49	8.1	-50	-46	-63
C	92265	1530	-48	8.6	-48	-46	-63
C	92265	1600	-48	9.1	-48	-38	-64
C	92265	1630	-48	9.7	-51	-54	-64
C	92265	1700	-51	8.4	-52	-61	-66
C	92265	1730	-50	9.6	-51	-61	-66
C	92265	1800	-51	8.8	-55	-61	-66

Seguimiento de Sistemas Convectivos Mesoscala

Valores Estadisticos de Temp. Topes Nubosos (°C)

MCS	DIA	HORA	T.M.	SDB	MED	MOD	T.MIN
D	92265	1400	-52	7.8	-55	-58	-61
D	92265	1430	-52	7.2	-56	-58	-61
D	92265	1500	-50	8.8	-54	-59	-62
D	92265	1530	-55	8.5	-58	-62	-64
D	92265	1600	-56	8.2	-58	-63	-64
D	92265	1630	-55	8.6	-58	-58	-66
D	92265	1700	-53	8.9	-56	-63	-66
D	92265	1730	-53	8.5	-56	-62	-66
D	92265	1800	-53	7.4	-55	-58	-64
D	92265	1830	-50	7.4	-51	-54	-66
D	92265	1900	-49	7.2	-49	-46	-63
D	92265	1930	-50	7.2	-51	-46	-64
D	92265	2000	-49	7.1	-50	-54	-63
<hr/>							
F	92265	1400	-51	7.9	-54	-59	-62
F	92265	1430	-50	8.8	-51	-61	-62
F	92265	1500	-51	8.3	-53	-59	-63
F	92265	1530	-51	8.2	-54	-56	-63
F	92265	1600	-49	9.0	-50	-61	-63
F	92265	1630	-50	9.8	-49	-62	-64
F	92265	1700	-50	9.6	-51	-61	-66
F	92265	1730	-54	9.7	-57	-63	-67
F	92265	1800	-54	9.3	-58	-63	-69
F	92265	1830	-54	8.8	-58	-63	-67
F	92265	1900	-55	8.5	-58	-63	-66
F	92265	1930	-54	8.9	-56	-63	-67
F	92265	2000	-53	8.7	-55	-63	-66
F	92265	2030	-50	8.1	-51	-53	-65
F	92265	2100	-49	7.5	-51	-55	-65
F	92265	2130	-49	7.0	-50	-53	-65
F	92265	2200	-49	7.0	-50	-53	-67
F	92265	2230	-49	7.2	-50	-53	-65
<hr/>							
E	92265	1430	-51	8.8	-54	-61	-62
E	92265	1500	-56	7.9	-59	-62	-63
E	92265	1530	-55	8.9	-59	-62	-67
E	92265	1600	-55	8.5	-59	-62	-64
E	92265	1630	-56	8.4	-59	-61	-66
E	92265	1700	-56	8.6	-59	-63	-67

Seguimiento de Sistemas Convectivos Mesoscala

Valores Estadísticos de Temp. Topes Nubosos (°C)

MCS	DIA	HORA	T.M.	SDB	MED	MOD	T.MIN
H	92265	1630	-47	10.2	-48	-58	-61
H	92265	1700	-50	10.1	-54	-61	-62
H	92265	1730	-52	9.1	-57	-61	-62
H	92265	1800	-51	8.7	-54	-61	-62
H	92265	1830	-47	8.4	-48	-58	-62
H	92265	1900	-47	8.6	-48	-46	-62
H	92265	1930	-47	8.9	-48	-38	-63
H	92265	2000	-46	9.0	-46	-38	-63
H	92265	2030	-46	8.7	-46	-34	-63
H	92265	2100	-47	8.5	-50	-58	-64
J	92265	1930	-44	6.9	-46	-46	-57
J	92265	2000	-51	8.3	-55	-58	-62
J	92265	2030	-53	7.1	-55	-58	-61
J	92265	2100	-51	6.7	-53	-53	-60
J	92265	2130	-48	6.5	-50	-52	-59
J	92265	2200	-45	6.7	-46	-48	-58
J	92265	2230	-44	7.6	-44	-40	-63
J	92266	0130	-54	8.0	-58	-60	-63
J	92266	0230	-53	7.6	-57	-60	-63
J	92266	0300	-54	8.2	-58	-58	-67
J	92266	0330	-52	8.4	-56	-58	-65
J	92266	0400	-53	7.6	-55	-58	-65
J	92266	0430	-52	7.9	-54	-58	-65
J	92266	0500	-53	7.8	-55	-58	-64
J	92266	0530	-51	7.9	-53	-53	-64
J	92266	0600	-52	8.6	-53	-60	-68
J	92266	0630	-52	9.6	-55	-60	-68
J	92266	0700	-55	8.3	-59	-60	-64
J	92266	0730	-54	8.7	-58	-60	-67

Seguimiento de Sistemas Convectivos Mesoscala

Valores Estadísticos de Temp. Topes Nubosos (°C)

MCS	DIA	HORA	T.M.	SDB	MED	MOD	T.MIN
G	92266	0130	-47	6.8	-48	-51	-64
G	92266	0230	-49	8.3	-51	-55	-65
G	92266	0300	-51	8.6	-53	-53	-70
G	92266	0330	-52	8.4	-54	-63	-70
G	92266	0400	-52	8.8	-53	-63	-68
G	92266	0430	-54	8.1	-56	-60	-65
G	92266	0500	-52	8.1	-54	-58	-68
G	92266	0530	-51	7.7	-52	-53	-67
G	92266	0600	-50	8.2	-51	-49	-70
G	92266	0630	-50	8.9	-51	-63	-71
G	92266	0700	-50	9.2	-50	-60	-68
G	92266	0730	-51	9.7	-53	-58	-67
G	92266	0800	-52	9.1	-54	-60	-67
G	92266	0830	-51	9.9	-54	-63	-69
G	92266	0900	-51	9.8	-54	-63	-71
G	92266	0930	-51	9.8	-53	-46	-69
G	92266	1000	-52	9.2	-55	-58	-66
G	92266	1030	-51	8.3	-55	-57	-66
G	92266	1130	-51	7.9	-53	-52	-66
G	92266	1200	-54	8.6	-58	-63	-69
G	92266	1230	-55	8.5	-58	-61	-67
G	92266	1300	-55	8.1	-58	-63	-69
G	92266	1330	-54	8.6	-56	-58	-71
G	92266	1400	-54	8.4	-56	-58	-71
G	92266	1500	-52	9.3	-54	-62	-71
G	92266	1530	-52	9.2	-54	-61	-70
G	92266	1600	-51	9.1	-53	-54	-70
G	92266	1630	-51	8.4	-52	-46	-69
G	92266	1700	-52	9.3	-54	-63	-75
G	92266	1730	-54	9.2	-55	-63	-70
G	92266	1800	-53	9.3	-55	-63	-69
G	92266	1830	-54	8.7	-56	-63	-69
G	92266	1900	-52	9.1	-54	-63	-69
G	92266	1930	-52	9.3	-54	-46	-69
G	92266	2000	-52	9.4	-53	-63	-69
G	92266	2030	-52	9.6	-54	-63	-67
G	92266	2100	-51	9.1	-53	-60	-68
G	92266	2130	-51	8.8	-51	-63	-68
G	92266	2200	-51	9.9	-52	-63	-68
G	92266	2230	-53	10.3	-57	-63	-68

Seguimiento de Sistemas Convectivos Mesoscala

Valores Estadísticos de Temp. Topes Nubosos (°C)

MCS	DIA	HORA	T.M.	SDB	MED	MOD	T.MIN
G	92267	0130	-52	8.8	-53	-63	-68
G	92267	0200	-53	8.2	-55	-63	-68
G	92267	0230	-53	8.3	-54	-63	-68
G	92267	0300	-52	8.1	-53	-61	-67
G	92267	0330	-51	8.5	-52	-60	-68
G	92267	0400	-49	8.6	-50	-58	-67
G	92267	0430	-48	7.9	-48	-55	-67
G	92267	0500	-47	7.6	-47	-41	-65
G	92267	0530	-46	7.2	-48	-41	-65
G	92267	0600	-48	7.1	-48	-49	-65
G	92267	0700	-50	8.1	-51	-60	-64
G	92267	0730	-50	8.4	-52	-58	-63
G	92267	0830	-49	7.3	-51	-54	-63
G	92267	0900	-47	7.1	-48	-50	-61
G	92267	0930	-44	6.6	-45	-38	-59
G	92267	1000	-42	6.7	-42	-38	-58
<hr/>							
R	92266	1730	-53	6.8	-57	-57	-59
R	92266	1800	-54	6.7	-57	-58	-62
R	92266	1830	-54	7.8	-57	-59	-64
R	92266	1900	-53	8.2	-58	-58	-63
R	92266	1930	-54	8.7	-58	-59	-66
R	92266	2000	-53	8.8	-58	-58	-66
R	92266	2030	-52	8.7	-57	-58	-63
R	92266	2100	-54	8.4	-57	-60	-67
R	92266	2130	-53	8.9	-57	-63	-67

Seguimiento de Sistemas Convectivos Mesoscala

Valores Estadísticos de Temp. Topes Nubosos (°C)

MCS	DIA	HORA	T.M.	SDB	MED	MOD	T.MIN
S	92267	0630	-46	6.6	-48	-51	-52
S	92267	0700	-50	7.0	-54	-55	-58
S	92267	0730	-50	7.9	-54	-57	-60
S	92267	0830	-51	7.5	-55	-58	-59
S	92267	0900	-51	7.8	-54	-57	-61
S	92267	0930	-49	7.3	-51	-56	-59
S	92267	1000	-48	7.8	-50	-54	-61
S	92267	1030	-47	8.4	-49	-50	-63
S	92267	1100	-51	9.1	-53	-61	-63
S	92267	1130	-55	8.3	-58	-62	-66
S	92267	1200	-57	8.1	-61	-63	-69
S	92267	1230	-57	8.3	-62	-63	-66
S	92267	1300	-56	8.4	-60	-63	-67
S	92267	1330	-54	10.0	-58	-63	-67
S	92267	1400	-54	9.8	-58	-63	-67
S	92267	1430	-54	9.7	-58	-63	-69
S	92267	1500	-54	9.6	-57	-63	-69
S	92267	1530	-53	9.6	-56	-58	-69
S	92267	1600	-54	9.2	-56	-63	-69
S	92267	1630	-52	9.2	-54	-63	-69
S	92267	1700	-51	9.1	-53	-63	-67
S	92267	1730	-50	8.8	-51	-58	-67
S	92267	1800	-49	8.1	-50	-50	-67
S	92267	1830	-48	7.7	-49	-50	-66
S	92267	1900	-46	7.5	-47	-46	-64
S	92267	1930	-46	7.8	-45	-42	-67
S	92267	2000	-48	8.9	-49	-38	-67
S	92267	2030	-48	9.5	-49	-63	-67
S	92267	2100	-50	10.0	-51	-63	-67
S	92267	2130	-55	9.3	-59	-63	-70
S	92267	2200	-55	9.4	-60	-63	-67
S	92267	2230	-56	9.0	-60	-63	-68
S	92268	0130	-53	9.7	-54	-63	-68
S	92268	0200	-53	9.9	-56	-63	-67
S	92268	0230	-53	9.4	-56	-63	-68
S	92268	0300	-52	9.4	-54	-63	-68
S	92268	0330	-51	9.1	-53	-63	-68
S	92268	0400	-50	9.0	-51	-63	-67
S	92268	0430	-48	8.7	-49	-49	-65
S	92268	0500	-46	8.3	-46	-45	-64
S	92268	0530	-46	7.5	-47	-40	-61
S	92268	0600	-46	6.7	-47	-52	-63
S	92268	0630	-42	5.7	-42	-35	-55

Seguimiento de Sistemas Convectivos Mesoscala

Valores Estadísticos de Temp. Topes Nubosos (°C)

MCS	DIA	HORA	T.M.	SDB	MED	MOD	T.MIN
T	92267	0830	-43	5.8	-44	-51	-51
T	92267	0900	-50	8.4	-54	-57	-58
T	92267	0930	-51	9.5	-54	-61	-62
T	92267	1000	-50	10.3	-53	-62	-63
T	92267	1030	-50	10.0	-52	-61	-63
T	92267	1100	-51	9.9	-54	-62	-64
T	92267	1130	-51	9.7	-54	-62	-66
T	92267	1200	-53	9.9	-57	-61	-67
T	92267	1230	-52	10.2	-56	-63	-66
T	92267	1300	-53	9.9	-56	-62	-66
<hr/>							
U	92267	1230	-42	4.2	-41	-46	-46
U	92267	1300	-50	6.6	-53	-54	-56
U	92267	1330	-51	6.6	-55	-54	-58
U	92267	1400	-53	7.0	-56	-58	-63
U	92267	1430	-54	7.0	-58	-58	-63
U	92267	1500	-54	7.1	-58	-58	-63
U	92267	1530	-53	7.2	-57	-58	-63
U	92267	1600	-53	7.7	-56	-58	-63
U	92267	1630	-51	7.7	-55	-57	-59
U	92267	1700	-49	7.9	-52	-58	-59
U	92267	1730	-47	7.8	-48	-56	-58
U	92267	1800	-45	7.8	-46	-54	-56
U	92267	1830	-42	6.5	-43	-34	-52
U	92267	1900	-38	3.6	-38	-34	-45
U	92267	1930	-35	1.7	-35	-34	-38
<hr/>							
V	92267	1430	-42	2.2	-43	-44	-44
V	92267	1500	-52	7.2	-54	-58	-63
V	92267	1530	-54	9.4	-59	-61	-63
V	92267	1600	-56	9.0	-62	-62	-64
V	92267	1630	-55	8.1	-59	-61	-64
V	92267	1700	-56	8.0	-59	-61	-67
V	92267	1730	-57	7.7	-59	-63	-75
V	92267	1800	-56	7.8	-59	-63	-69
V	92267	1830	-57	7.7	-60	-63	-67
V	92267	1900	-56	7.7	-59	-61	-66
V	92267	1930	-55	7.9	-58	-61	-66
V	92267	2000	-54	8.0	-56	-58	-66
V	92267	2030	-51	8.2	-53	-58	-65
V	92267	2100	-50	8.6	-52	-55	-64
V	92267	2130	-48	8.8	-50	-58	-65
V	92267	2200	-48	7.7	-50	-51	-63
V	92267	2230	-46	7.7	-47	-40	-63

Seguimiento de Sistemas Convectivos Mesoscala

Valores Estadísticos de Temp. Topes Nubosos (°C)

MCS	DIA	HORA	T.M.	SDB	MED	MOD	T.MIN
W	92267	1430	-35	1.4	-35	-34	-38
W	92267	1500	-42	7.1	-39	-38	-56
W	92267	1530	-45	7.3	-47	-50	-58
W	92267	1600	-48	7.8	-48	-50	-63
W	92267	1630	-48	9.6	-49	-61	-66
W	92267	1700	-53	8.8	-56	-59	-66
W	92267	1730	-53	8.6	-57	-58	-67
W	92267	1800	-52	8.8	-55	-58	-66
W	92267	1830	-51	8.6	-55	-58	-63
W	92267	1900	-50	8.3	-53	-57	-62
W	92267	1930	-49	7.8	-52	-56	-63
W	92267	2000	-48	6.6	-50	-50	-63
W	92267	2030	-45	6.0	-46	-47	-61
W	92267	2100	-44	6.5	-44	-40	-59
W	92267	2130	-43	6.4	-43	-40	-57
W	92267	2200	-43	5.9	-45	-49	-57
W	92267	2230	-44	5.4	-45	-45	-58
I	92270	0600	-37	3.7	-36	-34	-44
I	92270	0630	-47	8.1	-49	-56	-59
I	92270	0700	-52	6.8	-56	-57	-59
I	92270	0730	-54	5.9	-57	-57	-66
I	92270	0800	-53	5.9	-56	-57	-61
I	92270	0830	-53	6.6	-56	-57	-62
I	92270	0900	-52	6.6	-56	-57	-61
I	92270	0930	-52	6.9	-56	-57	-62
I	92270	1000	-53	6.7	-56	-57	-60
I	92270	1030	-53	7.0	-56	-57	-61
I	92270	1100	-50	7.7	-53	-57	-61
I	92270	1130	-48	7.3	-51	-55	-59
I	92270	1200	-45	7.3	-46	-32	-56
I	92270	1230	-42	5.6	-44	-49	-52

Seguimiento de Sistemas Convectivos Mesoscala

Valores Estadísticos de Temp. Topes Nubosos (°C)

MCS	DIA	HORA	T.M.	SDB	MED	MOD	T.MIN
K	92270	0900	-53	7.3	-56	-57	-64
K	92270	0930	-54	7.6	-57	-57	-64
K	92270	1000	-54	7.2	-57	-57	-65
K	92270	1030	-54	7.4	-56	-57	-65
K	92270	1100	-53	8.0	-56	-57	-68
K	92270	1130	-53	8.4	-56	-57	-69
K	92270	1200	-53	8.2	-56	-60	-65
K	92270	1230	-54	8.3	-57	-60	-69
K	92270	1330	-54	8.6	-57	-60	-68
K	92270	1400	-54	8.8	-58	-62	-71
K	92270	1430	-55	8.7	-58	-60	-71
K	92270	1500	-54	8.3	-57	-60	-71
K	92270	1530	-53	8.3	-56	-57	-69
K	92270	1600	-52	8.6	-54	-60	-71
K	92270	1630	-52	8.4	-53	-62	-72
K	92270	1700	-51	9.1	-53	-62	-69
K	92270	1730	-52	9.1	-54	-62	-74
K	92270	1800	-51	9.4	-53	-62	-69
K	92270	1830	-51	9.5	-53	-62	-68
K	92270	1900	-52	9.0	-55	-57	-68
K	92270	1930	-51	8.8	-54	-57	-69
K	92270	2000	-50	8.6	-52	-53	-68
K	92270	2030	-48	8.4	-48	-48	-70
K	92270	2100	-49	8.7	-49	-62	-67
K	92270	2130	-49	9.6	-49	-40	-65
K	92270	2200	-52	9.2	-56	-62	-65
K	92270	2230	-52	9.4	-54	-62	-67
K	92270	2300	-51	9.2	-53	-62	-65
K	92271	0130	-51	9.4	-54	-59	-66
K	92271	0200	-51	8.4	-54	-57	-65
K	92271	0230	-50	7.8	-52	-57	-62
K	92271	0300	-49	7.4	-51	-55	-62
K	92271	0330	-48	6.3	-49	-52	-61
K	92271	0400	-46	6.9	-47	-52	-62
<hr/>							
L	92270	2300	-42	5.7	-42	-49	-51
L	92271	0130	-47	9.0	-46	-59	-63
L	92271	0200	-56	7.9	-59	-59	-66
L	92271	0230	-58	7.6	-61	-62	-67
L	92271	0300	-55	8.6	-57	-62	-69
L	92271	0330	-55	7.8	-57	-62	-67
L	92271	0400	-53	7.7	-56	-59	-66
L	92271	0430	-52	7.2	-53	-57	-62
L	92271	0500	-49	7.3	-51	-55	-62
L	92271	0530	-47	7.5	-50	-52	-59
L	92271	0600	-47	5.8	-48	-48	-57

Seguimiento de Sistemas Convectivos. Mesoscala

Valores Estadísticos de Temp. Topes Nubosos (°C)

MCS	DIA	HORA	T.M.	SDB	MED	MOD	T.MIN
M	92271	0330	-46	7.8	-47	-52	-63
M	92271	0400	-49	7.5	-50	-52	-63
M	92271	0430	-49	8.5	-50	-59	-66
M	92271	0500	-52	8.9	-53	-62	-67
M	92271	0530	-54	9.5	-56	-65	-70
M	92271	0600	-54	9.1	-56	-62	-70
M	92271	0630	-54	9.0	-56	-62	-74
M	92271	0700	-53	9.6	-54	-62	-70
M	92271	0730	-52	9.7	-53	-62	-69
M	92271	0830	-50	9.8	-50	-62	-68
M	92271	0900	-49	9.6	-48	-45	-71
M	92271	0930	-55	9.5	-57	-62	-71
M	92271	1000	-54	9.7	-56	-62	-69
M	92271	1030	-53	10.0	-55	-62	-69
M	92271	1100	-52	9.7	-55	-60	-68
M	92271	1130	-52	9.3	-54	-60	-69
M	92271	1200	-52	8.7	-54	-55	-69
M	92271	1230	-52	8.5	-53	-53	-71
M	92271	1300	-51	9.0	-52	-53	-69
M	92271	1330	-51	8.9	-53	-62	-69
M	92271	1400	-51	9.2	-52	-62	-68
M	92271	1430	-50	9.0	-52	-60	-71
M	92271	1500	-49	8.7	-51	-60	-71
M	92271	1530	-50	8.1	-51	-51	-69
M	92271	1600	-49	7.9	-51	-51	-68
M	92271	1630	-49	7.8	-50	-55	-69
M	92271	1700	-50	8.3	-51	-51	-65

Seguimiento de Sistemas Convectivos Mesoscala

Valores Estadísticos de Temp. Topes Nubosos (°C)

MCS	DIA	HORA	T.M.	SDB	MED	MOD	T.MIN
N	92271	0530	-49	7.7	-52	-57	-59
N	92271	0600	-49	7.8	-52	-55	-61
N	92271	0630	-49	8.2	-52	-56	-61
N	92271	0700	-48	8.3	-51	-55	-61
N	92271	0730	-50	7.9	-51	-57	-65
N	92271	0830	-51	9.7	-55	-60	-65
N	92271	0900	-52	9.3	-56	-60	-66
N	92271	0930	-54	8.5	-57	-60	-68
N	92271	1000	-54	8.6	-56	-60	-68
N	92271	1030	-53	9.7	-56	-62	-69
N	92271	1100	-53	9.6	-55	-62	-69
N	92271	1130	-53	9.6	-55	-62	-71
N	92271	1200	-52	10.2	-54	-62	-69
N	92271	1230	-52	10.1	-54	-62	-68
N	92271	1300	-52	10.2	-55	-62	-69
N	92271	1330	-52	10.1	-55	-62	-69
N	92271	1400	-52	10.1	-55	-62	-68
N	92271	1430	-53	10.3	-56	-62	-68
N	92271	1500	-53	10.1	-57	-62	-68
N	92271	1530	-54	10.1	-57	-62	-68
N	92271	1600	-54	10.2	-59	-62	-68
N	92271	1630	-54	10.2	-58	-62	-72
N	92271	1700	-55	10.1	-59	-62	-71
N	92271	1730	-54	9.7	-58	-62	-71
N	92271	1830	-54	8.9	-56	-55	-71
N	92271	2030	-55	9.9	-58	-62	-69
N	92271	2100	-56	8.7	-58	-65	-71
N	92271	2130	-55	9.4	-58	-62	-72
N	92271	2200	-55	9.9	-57	-62	-74
N	92271	2230	-55	10.6	-58	-65	-74
N	92271	2300	-55	10.8	-58	-65	-74
N	92272	0130	-52	9.9	-54	-57	-72
N	92272	0200	-51	10.3	-52	-53	-72
N	92272	0230	-51	10.5	-51	-65	-75
N	92272	0300	-51	10.9	-49	-65	-75
N	92272	0330	-52	10.7	-54	-65	-75
N	92272	0400	-53	10.2	-54	-65	-74
N	92272	0430	-52	9.9	-54	-62	-72
N	92272	0500	-52	9.7	-54	-62	-71
N	92272	0530	-52	9.3	-54	-60	-69
N	92272	0600	-51	9.0	-52	-62	-69
N	92272	0630	-51	9.1	-51	-62	-69
N	92272	0700	-51	9.6	-53	-62	-71
N	92272	0730	-51	9.1	-54	-60	-69

Seguimiento de Sistemas Convectivos Mesoscala

Valores Estadísticos de Temp. Topes Nubosos (°C)

MCS	DIA	HORA	T.M.	SDB	MED	MOD	T.MIN
N	92272	0800	-51	8.7	-53	-57	-68
N	92272	1000	-48	8.0	-49	-51	-64
N	92272	1030	-47	7.6	-48	-53	-64
N	92272	1100	-47	6.8	-49	-49	-64
N	92272	1200	-46	7.4	-47	-49	-62
N	92272	1230	-49	8.2	-52	-57	-62
N	92272	1300	-51	7.2	-54	-57	-62
N	92272	1400	-50	7.3	-53	-53	-64
N	92272	1430	-49	7.2	-51	-51	-62
N	92272	1530	-50	8.2	-53	-55	-65
N	92272	1600	-50	8.3	-52	-57	-66
N	92272	1630	-51	8.6	-54	-57	-68
N	92272	1700	-52	8.3	-55	-60	-66
N	92272	1730	-52	8.0	-54	-55	-65
N	92272	1800	-51	8.2	-53	-57	-66
N	92272	1830	-51	8.4	-53	-55	-68
N	92272	1900	-50	8.9	-52	-51	-66
N	92272	1930	-51	8.9	-52	-60	-66
N	92272	2000	-51	8.7	-53	-60	-65
N	92272	2030	-50	8.5	-53	-57	-66
N	92272	2100	-49	8.3	-52	-55	-65
N	92272	2130	-48	7.4	-49	-55	-62
N	92272	2200	-50	6.8	-53	-53	-61
N	92272	2230	-48	6.7	-49	-49	-60
N	92272	2300	-46	5.8	-47	-52	-55
O	92271	2030	-56	9.5	-60	-62	-69
O	92271	2100	-57	9.9	-62	-65	-71
O	92271	2130	-58	10.0	-62	-65	-69
O	92271	2200	-58	9.5	-62	-65	-72

Seguimiento de Sistemas Convectivos Mesoscala

Valores Estadísticos de Temp. Topes Nubosos (°C)

MCS	DIA	HORA	T.M.	SDB	MED	MOD	T.MIN
X	92282	0130	-40	5.5	-40	-33	-51
X	92282	0200	-41	5.3	-41	-39	-50
X	92282	0230	-41	5.2	-42	-39	-50
X	92282	0300	-42	4.8	-42	-46	-50
X	92282	0330	-41	5.2	-42	-33	-49
X	92282	0400	-41	4.7	-42	-42	-50
X	92282	0430	-43	7.1	-42	-39	-56
X	92282	0500	-46	7.3	-50	-51	-57
X	92282	0530	-48	6.4	-51	-52	-58
X	92282	0600	-48	6.4	-50	-52	-57
X	92282	0630	-48	6.2	-50	-53	-58
X	92282	0700	-47	6.3	-49	-52	-57
X	92282	0730	-47	6.1	-48	-52	-59
X	92282	0800	-46	6.1	-48	-52	-57
X	92282	0830	-46	6.0	-47	-48	-60
X	92282	0900	-46	5.8	-46	-44	-58
X	92282	0930	-45	5.9	-45	-44	-58
X	92282	1000	-44	6.0	-44	-44	-60
X	92282	1030	-43	6.5	-43	-44	-61
X	92282	1100	-43	7.3	-41	-36	-58
X	92282	1130	-44	8.0	-43	-36	-60
X	92282	1200	-46	7.8	-48	-53	-61
X	92282	1230	-47	7.8	-49	-53	-60
X	92282	1300	-47	7.5	-49	-53	-60
X	92282	1330	-46	7.2	-47	-54	-61
X	92282	1400	-44	6.9	-44	-44	-62
X	92282	1430	-43	7.4	-43	-36	-62
X	92282	1500	-43	7.4	-43	-36	-60
X	92282	1530	-43	7.7	-43	-36	-61
X	92282	1600	-44	7.9	-44	-36	-62
X	92282	1630	-44	7.8	-44	-44	-62
X	92282	1700	-44	8.0	-44	-36	-60
X	92282	1730	-44	8.2	-44	-36	-58
X	92282	1800	-45	7.5	-46	-44	-58
X	92282	1830	-45	7.2	-45	-51	-57
X	92282	1900	-44	7.2	-45	-53	-62
X	92282	1930	-45	7.1	-46	-44	-61
X	92282	2000	-46	7.2	-46	-55	-58
X	92282	2030	-45	7.1	-47	-52	-58

Seguimiento de Sistemas Convectivos, Mesoscala

Valores Estadísticos de Temp. Topes Nubosos (°C)

MCS	DIA	HORA	T.M.	SDB	MED	MOD	T.MIN
X	92282	2100	-47	6.4	-49	-52	-58
X	92282	2130	-46	6.3	-48	-50	-61
X	92282	2200	-45	6.1	-47	-52	-56
X	92282	2230	-45	6.2	-45	-44	-57
X	92282	2300	-45	6.2	-46	-46	-58
X	92283	0130	-46	5.9	-48	-50	-57
X	92283	0200	-44	6.1	-44	-40	-56
X	92283	0230	-44	6.0	-44	-40	-57
X	92283	0300	-44	6.2	-43	-40	-58
X	92283	0330	-44	6.2	-44	-40	-57
X	92283	0400	-43	6.6	-43	-40	-57
X	92283	0430	-43	6.2	-43	-40	-57
X	92283	0500	-44	6.1	-45	-40	-56
X	92283	0530	-43	6.0	-44	-40	-55
X	92283	0600	-42	6.4	-42	-40	-55
X	92283	0630	-41	5.9	-41	-34	-51
X	92283	0700	-40	4.6	-41	-44	-48
X	92283	0730	-37	2.7	-38	-40	-44

Y	92282	0300	-38	4.6	-36	-33	-44
Y	92282	0330	-41	5.5	-41	-48	-48
Y	92282	0400	-43	5.7	-45	-50	-52
Y	92282	0430	-45	5.3	-47	-48	-55
Y	92282	0500	-46	5.2	-48	-50	-53
Y	92282	0530	-47	5.2	-49	-50	-55
Y	92282	0600	-47	5.4	-48	-50	-57
Y	92282	0630	-45	6.2	-47	-50	-57
Y	92282	0700	-45	5.7	-47	-48	-56
Y	92282	0730	-45	5.5	-46	-46	-58
Y	92282	0800	-44	5.6	-45	-50	-57
Y	92282	0830	-45	6.0	-46	-51	-60
Y	92282	0900	-45	6.1	-45	-51	-58
Y	92282	0930	-44	6.8	-45	-53	-56
Y	92282	1000	-47	6.5	-49	-53	-57
Y	92282	1030	-46	6.7	-48	-51	-58
Y	92282	1100	-45	6.5	-46	-51	-58
Y	92282	1130	-44	6.1	-46	-44	-56
Y	92282	1200	-45	5.9	-45	-44	-56
Y	92282	1230	-45	5.8	-45	-44	-55
Y	92282	1300	-44	5.5	-45	-44	-55
Y	92282	1330	-42	5.5	-44	-44	-55

Seguimiento de Sistemas Convectivos Mesoscala

Valores Estadísticos de Temp. Topes Nubosos (°C)

MCS	DIA	HORA	T.M.	SDB	MED	MOD	T.MIN
Z	92359	1130	-38	3.3	-38	-39	-44
Z	92359	1200	-37	3.0	-37	-35	-42
Z	92359	1230	-39	4.2	-40	-32	-45
Z	92359	1300	-40	5.2	-40	-39	-50
Z	92359	1330	-43	6.1	-45	-47	-52
Z	92359	1400	-44	5.9	-46	-50	-52
Z	92359	1430	-44	5.8	-46	-48	-52
Z	92359	1500	-43	6.1	-44	-45	-53
Z	92359	1530	-43	6.3	-45	-45	-54
Z	92359	1600	-46	6.0	-48	-51	-54
Z	92359	1630	-46	6.1	-48	-51	-55
Z	92359	1700	-46	5.8	-48	-51	-55
Z	92359	1730	-45	5.9	-47	-45	-53
Z	92359	1800	-44	5.5	-45	-45	-52
Z	92359	1830	-43	5.3	-45	-45	-52
Z	92359	1900	-43	5.2	-44	-45	-52
Z	92359	1930	-42	5.5	-42	-39	-53
Z	92359	2000	-42	5.9	-44	-46	-54
Z	92359	2030	-44	6.1	-45	-46	-53
Z	92359	2100	-46	6.2	-48	-52	-53
Z	92359	2130	-46	5.4	-49	-50	-53
Z	92359	2200	-44	5.8	-46	-48	-53
Z	92359	2230	-43	5.9	-44	-46	-53
Z	92359	2300	-44	5.6	-46	-48	-53
Z	92359	2330	-44	6.0	-45	-48	-52
Z	92359	2400	-43	5.8	-44	-36	-52
Z	92360	0030	-43	5.5	-44	-48	-50
Z	92360	0100	-42	4.8	-44	-48	-50
Z	92360	0130	-41	4.3	-42	-43	-49

ANEXO III

**ÁREAS CUBIERTAS POR TEMPERATURAS
INFERIORES A CIERTOS VALORES**

A continuación se presenta un listado con los resultados de la medida de las áreas, en miles de Km², bajo las diferentes isothermas seleccionadas de -32, -36, -40, -44, -48, -52, -56, -60, -64 y -68°C para cada SCM estudiado en la Campaña Previmet Mediterráneo-90.

En el listado figuran, de izquierda a derecha los siguientes datos:

- SCM Nombre del sistema a que corresponden las medidas
- Día Fecha (juliana) en la que tuvo lugar el SCM
- Hora Hora a la que se realizó la medida que figura a continuación

Seguidamente van las áreas mencionadas anteriormente, cada una bajo su isoterma correspondiente.

Seguimiento de Sistemas Convectivos Mesoscala

Area (en miles de Km2) bajo diferentes isothermas

MCS	DIA	HORA	-32°	-36°	-40°	-44°	-48°	-52°	-56°	-60°	-64°	-68°
A	92252	1530	1	1	1	1	1					
A	92252	1600	6	5	4	3	3	2				
A	92252	1630	24	20	16	13	10	5	1			
A	92252	1700	29	24	21	18	14	9	1			
A	92252	1730	38	34	31	26	22	12	1			
A	92252	1800	28	27	25	23	19	13	5			
A	92252	1830	37	34	32	28	24	20	11			
A	92252	1930	76	66	52	44	39	28	9			
A	92252	2000	76	68	57	50	41	22	7			
A	92252	2030	83	74	62	50	31	16				
A	92252	2100	86	75	59	43	25	7				
A	92252	2130	80	68	50	36	16	1				

B	92253	0930	4	3	2	1						
B	92253	1000	7	7	6	4	1					
B	92253	1030	15	14	13	8	4	1				
B	92253	1100	24	22	19	12	5					
B	92253	1130	31	30	26	14	3					
B	92253	1200	28	26	23	9	3	1				
B	92253	1230	27	25	20	8	5	1				
B	92253	1300	30	27	20	11	6	1				
B	92253	1400	43	37	27	17	10	3				
B	92253	1430	46	38	30	19	10	2				
B	92253	1500	48	43	35	22	11	1				
B	92253	1530	51	43	34	20	8					
B	92253	1600	43	35	27	14	4					
B	92253	1630	37	30	19	9						
B	92253	1700	31	22	13	1						
B	92253	1730	20	11	4	1						
B	92253	1830	9	7	2							
B	92253	1900	10	4	1							

Seguimiento de Sistemas Convectivos Mesoscala

Area (en miles de Km2) bajo diferentes isothermas

MCS	DIA	HORA	-32°	-36°	-40°	-44°	-48°	-52°	-56°	-60°	-64°	-68°
C	92265	0600	6	5	5	4	3	2	1			
C	92265	0630	8	7	6	6	5	4	2			
C	92265	0700	10	9	8	8	7	5	3			
C	92265	0730	12	12	11	10	10	8	6			
C	92265	0800	16	15	14	14	12	10	5			
C	92265	0830	19	19	17	16	14	12	6			
C	92265	0900	22	21	19	18	15	12	8	1		
C	92265	0930	26	24	21	19	16	14	10	1		
C	92265	1000	28	26	24	22	19	16	11	2		
C	92265	1030	32	30	28	26	22	19	13	4		
C	92265	1100	36	34	31	29	25	22	15	4		
C	92265	1130	39	37	34	31	27	24	18	6		
C	92265	1200	43	40	38	35	30	27	20	4		
C	92265	1230	45	42	39	36	33	30	22	5		
C	92265	1300	49	45	42	39	35	31	22	2		
C	92265	1330	52	48	45	42	37	32	23	3		
C	92265	1400	55	51	48	44	37	33	18	2		
C	92265	1430	58	54	50	46	39	30	18	3		
C	92265	1500	62	56	51	46	36	27	15	4		
C	92265	1530	63	56	50	43	32	25	16	5		
C	92265	1600	61	54	45	39	30	26	17	5		
C	92265	1630	45	37	33	31	27	23	12	4		
C	92265	1700	51	48	45	41	34	26	17	8		
C	92265	1730	53	48	42	38	31	26	19	10		
C	92265	1800	50	47	43	39	33	29	23	8		

Seguimiento de Sistemas Convectivos. Mesoscala

Area (en miles de Km2) bajo diferentes isothermas

MCS	DIA	HORA	-32°	-36°	-40°	-44°	-48°	-52°	-56°	-60°	-64°	-68°
D	92265	1400	3	3	3	2	2	2	1			
D	92265	1430	5	4	4	4	3	3	2			
D	92265	1500	7	6	5	5	4	4	3			
D	92265	1530	10	10	9	9	8	8	6	3		
D	92265	1600	17	16	16	15	14	13	11	6		
D	92265	1630	24	22	21	21	19	17	14	8	2	
D	92265	1700	32	30	28	27	24	21	16	10	1	
D	92265	1730	38	37	34	32	28	25	20	10		
D	92265	1800	38	36	35	32	29	24	17	4		
D	92265	1830	54	51	48	44	36	26	13	4		
D	92265	1900	58	55	50	45	32	21	11	4		
D	92265	1930	47	46	43	39	31	23	12	4		
D	92265	2000	56	54	49	45	34	25	10	3		
F	92265	1400	6	6	6	5	4	3	3			
F	92265	1430	14	13	12	10	8	7	5	2		
F	92265	1500	19	18	16	15	12	11	7	2		
F	92265	1530	24	23	21	20	16	14	9	3		
F	92265	1600	30	28	24	22	17	14	9	5		
F	92265	1630	34	30	27	24	18	15	12	7		
F	92265	1700	36	33	30	26	20	17	14	8		
F	92265	1730	72	67	63	58	52	46	38	28	5	
F	92265	1800	87	82	77	71	64	58	49	32	4	
F	92265	1830	144	137	129	122	111	102	82	47	10	
F	92265	1900	138	132	127	120	110	100	81	44	10	
F	92265	1930	185	177	167	154	135	121	93	52	15	
F	92265	2000	212	201	187	174	151	132	96	49	7	
F	92265	2030	328	309	289	250	208	152	89	46	4	
F	92265	2100	356	337	314	275	225	151	75	25	1	
F	92265	2130	392	372	349	301	237	159	55	18	1	
F	92265	2200	322	301	282	249	201	121	43	11	2	
F	92265	2230	257	241	224	194	154	101	36	10	1	
E	92265	1430	5	4	4	4	3	3	2	1		
E	92265	1500	8	8	8	7	7	7	6	3		
E	92265	1530	15	15	14	13	12	11	9	7	1	
E	92265	1600	19	19	18	17	15	15	13	8		
E	92265	1630	26	25	24	23	21	19	17	11	1	
E	92265	1700	29	28	27	26	23	22	19	13	1	

Seguimiento de Sistemas Convectivos Mesoscala

Area (en miles de Km2) bajo diferentes isothermas

MCS	DIA	HORA	-32°	-36°	-40°	-44°	-48°	-52°	-56°	-60°	-64°	-68°
H	92265	1630	4	3	2	2	2	2	1			
H	92265	1700	6	6	5	4	4	4	3	1		
H	92265	1730	9	8	7	7	6	5	5	2		
H	92265	1800	11	11	10	9	7	6	5	2		
H	92265	1830	35	31	26	23	17	13	8	2		
H	92265	1900	35	30	26	22	17	14	8	1		
H	92265	1930	32	27	23	20	16	12	8	2		
H	92265	2000	35	29	24	19	15	12	8	2		
H	92265	2030	31	26	22	17	14	11	5	1		
H	92265	2100	26	22	20	17	14	10	4	1		
J	92265	1930	2	2	2	1	1					
J	92265	2000	4	4	4	3	3	2	2			
J	92265	2030	6	6	6	5	5	4	3	1		
J	92265	2100	8	8	8	7	6	5	2			
J	92265	2130	11	10	9	8	6	3	1			
J	92265	2200	11	10	9	7	5	2				
J	92265	2230	11	10	8	6	4	2	1			
J	92266	0130	11	11	10	9	9	8	6	3		
J	92266	0230	36	35	34	31	28	24	18	8		
J	92266	0300	41	39	37	34	32	29	22	9		
J	92266	0330	46	44	41	38	35	30	21	9		
J	92266	0400	41	39	37	35	33	29	17	7		
J	92266	0430	45	43	40	37	33	27	17	7		
J	92266	0500	38	36	35	32	29	24	18	7		
J	92266	0530	43	40	38	35	31	25	13	5		
J	92266	0600	38	36	34	31	28	22	15	9	1	
J	92266	0630	38	35	32	28	25	21	17	12	1	
J	92266	0700	35	33	32	30	28	25	20	12		
J	92266	0730	40	38	36	33	30	27	22	14	1	

Seguimiento de Sistemas Convectivos Mesoscala

Area (en miles de Km2) bajo diferentes isothermas

MCS	DIA	HORA	-32°	-36°	-40°	-44°	-48°	-52°	-56°	-60°	-64°	-68°
G	92266	0130	178	163	147	120	86	43	11	4		
G	92266	0230	96	89	83	69	56	42	21	10	1	
G	92266	0300	96	90	85	77	68	52	29	17	6	
G	92266	0330	107	101	96	89	80	63	38	25	6	
G	92266	0400	136	127	120	109	93	71	48	32	7	
G	92266	0430	99	95	90	85	79	69	48	28	3	
G	92266	0500	128	122	116	105	94	78	48	24	3	
G	92266	0530	140	133	127	114	98	70	38	17	2	
G	92266	0600	170	160	150	135	107	72	41	22	8	
G	92266	0630	165	153	142	126	102	73	45	31	10	1
G	92266	0700	161	149	139	117	93	66	51	36	10	
G	92266	0730	138	123	114	103	85	71	53	28	7	
G	92266	0800	173	158	148	134	122	104	68	39	6	
G	92266	0830	196	177	161	147	127	108	78	45	12	
G	92266	0900	200	181	166	152	130	108	80	47	13	1
G	92266	0930	208	188	169	154	123	108	86	44	12	
G	92266	1000	192	176	164	152	130	119	91	40	2	
G	92266	1030	204	190	176	164	144	127	87	20	1	
G	92266	1130	173	163	151	143	124	97	48	21	2	
G	92266	1200	86	83	79	75	66	59	50	28	5	
G	92266	1230	101	96	92	88	81	75	59	34	6	
G	92266	1300	121	117	113	109	100	90	73	43	12	
G	92266	1330	155	148	141	134	120	109	80	43	13	
G	92266	1400	177	172	164	154	135	119	88	50	19	1
G	92266	1500	223	210	192	176	150	130	93	53	15	2
G	92266	1530	230	215	198	183	158	135	97	50	13	2
G	92266	1600	244	225	206	190	160	134	87	43	11	1
G	92266	1630	226	216	203	183	143	113	76	40	12	1
G	92266	1700	191	182	170	155	129	107	73	50	21	2
G	92266	1730	173	164	155	145	127	108	82	54	20	1
G	92266	1800	177	167	156	147	127	107	83	50	18	1
G	92266	1830	160	154	146	138	123	108	79	50	17	
G	92266	1900	177	167	156	141	118	99	73	42	15	
G	92266	1930	170	160	149	139	114	95	70	41	18	
G	92266	2000	173	162	149	136	113	94	67	42	17	
G	92266	2030	138	127	118	103	90	75	56	38	7	
G	92266	2100	145	134	124	110	94	77	54	31	7	
G	92266	2130	153	143	132	116	97	70	45	31	9	
G	92266	2200	225	207	189	161	136	112	91	68	11	
G	92266	2230	219	202	185	166	147	132	110	87	23	1

Seguimiento de Sistemas Convectivos Mesoscala

Area (en miles de Km2) bajo diferentes isothermas

MCS	DIA	HORA	-32°	-36°	-40°	-44°	-48°	-52°	-56°	-60°	-64°	-68°
G	92267	0130	298	281	263	233	201	161	107	67	19	1
G	92267	0200	222	212	203	189	172	139	95	60	11	
G	92267	0230	150	132	118	89	53	30	16	9	1	
G	92267	0300	225	214	205	184	152	122	77	42	6	
G	92267	0330	206	196	183	158	132	103	69	41	4	
G	92267	0400	227	209	187	158	129	94	61	25	2	
G	92267	0430	220	201	181	151	111	77	39	9	1	
G	92267	0500	222	201	175	138	102	68	22	8	2	
G	92267	0530	182	164	146	114	87	44	14	7	1	
G	92267	0600	116	108	100	85	59	26	14	7	1	
G	92267	0700	49	46	42	37	30	22	14	6		
G	92267	0730	44	40	37	31	27	21	14	5		
G	92267	0830	43	40	36	32	27	20	7			
G	92267	0900	45	40	35	30	22	12	4			
G	92267	0930	41	36	30	22	12	7	2			
G	92267	1000	34	27	19	13	8	3	1			
R	92266	1730	8	8	8	7	7	6	4			
R	92266	1800	12	11	11	11	10	9	7	1		
R	92266	1830	16	16	15	14	13	12	10	2		
R	92266	1900	22	21	19	18	17	15	13	3		
R	92266	1930	27	26	24	23	20	19	16	6		
R	92266	2000	33	31	28	27	25	23	19	7		
R	92266	2030	39	36	34	31	29	26	20	6		
R	92266	2100	49	47	45	41	38	33	25	15	1	
R	92266	2130	66	63	60	51	46	40	34	21	2	

Seguimiento de Sistemas Convectivos Mesoscala

Area (en miles de Km2) bajo diferentes isothermas

MCS	DIA	HORA	-32°	-36°	-40°	-44°	-48°	-52°	-56°	-60°	-64°	-68°
S	92267	0630	1									
S	92267	0700	2	2	2	2	1	1				
S	92267	0730	5	4	4	4	3	3	1			
S	92267	0830	9	8	8	7	6	6	4			
S	92267	0900	11	10	9	8	8	6	4			
S	92267	0930	13	12	11	10	8	6	3			
S	92267	1000	13	12	11	9	8	6	2			
S	92267	1030	16	14	12	11	8	6	3	1		
S	92267	1100	22	20	18	16	14	12	9	4		
S	92267	1130	29	27	26	25	23	21	18	9	1	
S	92267	1200	36	35	34	33	32	30	26	19	3	
S	92267	1230	46	44	43	41	39	37	34	26	4	
S	92267	1300	55	53	51	49	46	43	38	27	3	
S	92267	1330	132	123	112	105	95	86	75	53	12	
S	92267	1400	145	136	124	114	105	95	83	57	11	
S	92267	1430	151	140	130	122	114	105	90	58	13	
S	92267	1500	172	160	149	139	128	114	93	58	16	
S	92267	1530	187	174	160	148	136	119	90	52	17	
S	92267	1600	189	178	166	155	144	125	92	55	19	
S	92267	1630	207	192	178	165	149	125	87	53	7	
S	92267	1700	232	215	196	174	153	122	87	47	6	
S	92267	1730	243	222	198	175	148	114	75	28	3	
S	92267	1800	243	223	200	173	140	96	51	17	3	
S	92267	1830	235	217	195	169	129	72	37	16	3	
S	92267	1900	235	214	188	153	92	50	31	13		
S	92267	1930	233	207	178	133	84	52	30	14	2	
S	92267	2000	128	117	101	85	67	48	30	17	3	
S	92267	2030	113	100	89	74	59	42	31	21	2	
S	92267	2100	106	95	85	74	61	48	36	27	6	
S	92267	2130	70	67	64	59	54	47	39	31	10	
S	92267	2200	78	74	71	65	60	55	49	39	9	
S	92267	2230	89	86	82	77	72	67	59	46	16	1
S	92268	0130	122	116	109	97	83	68	53	44	16	
S	92268	0200	122	114	106	95	84	71	60	46	14	
S	92268	0230	114	108	101	92	81	71	55	40	10	
S	92268	0300	117	108	100	88	78	67	50	31	6	
S	92268	0330	109	100	93	84	75	60	40	24	4	
S	92268	0400	106	96	89	77	65	47	28	18	6	
S	92268	0430	105	95	86	71	54	35	22	15	2	
S	92268	0500	101	89	77	59	40	28	17	7		
S	92268	0530	70	62	53	41	30	19	7	1		
S	92268	0600	43	39	34	28	19	10	2			
S	92268	0630	53	44	34	22	11	2				

Seguimiento de Sistemas Convectivos Mesoscala

Area (en miles de Km2) bajo diferentes isothermas

MCS	DIA	HORA	-32°	-36°	-40°	-44°	-48°	-52°	-56°	-60°	-64°	-68°
T	92267	0830	1									
T	92267	0900	1	1	1	1	1	1				
T	92267	0930	3	3	3	2	2	2	1			
T	92267	1000	8	7	6	6	5	4	3	2		
T	92267	1030	14	12	11	9	8	7	6	3		
T	92267	1100	22	20	18	16	14	12	10	5		
T	92267	1130	31	28	25	23	20	16	13	8		
T	92267	1200	37	34	31	28	25	23	19	13	1	
T	92267	1230	47	42	38	35	31	27	23	15	2	
T	92267	1300	51	47	43	39	34	30	25	18	1	

U	92267	1230	1									
U	92267	1300	2	1	1	1	1	1				
U	92267	1330	4	4	4	4	3	3	1			
U	92267	1400	8	8	7	7	6	6	4			
U	92267	1430	11	11	11	10	10	9	7	1		
U	92267	1500	15	14	14	13	12	11	9	1		
U	92267	1530	19	18	17	16	15	14	11	1		
U	92267	1600	22	21	19	19	17	15	12	1		
U	92267	1630	22	20	19	17	16	13	8			
U	92267	1700	19	17	15	14	12	10	5			
U	92267	1730	16	14	12	10	8	5	3			
U	92267	1800	12	10	8	7	5	4				
U	92267	1830	10	7	6	5	3					
U	92267	1900	5	3	2							
U	92267	1930	2									

V	92267	1430	1									
V	92267	1500	2	2	2	2	1	1	1			
V	92267	1530	6	5	5	5	4	4	4	2		
V	92267	1600	9	8	8	8	7	7	6	5		
V	92267	1630	14	14	13	12	12	11	10	5		
V	92267	1700	22	21	20	20	19	17	14	9	1	
V	92267	1730	30	29	28	27	26	23	20	13	2	
V	92267	1800	35	34	33	32	30	27	24	15	2	
V	92267	1830	42	41	39	38	37	34	30	21	2	
V	92267	1900	48	46	44	43	41	38	32	16		
V	92267	1930	52	50	48	46	44	39	31	17	1	
V	92267	2000	53	51	48	45	42	37	27	11		
V	92267	2030	53	50	47	42	37	29	19	8		
V	92267	2100	50	47	43	37	31	26	16	7		
V	92267	2130	45	40	35	30	25	19	11	3		
V	92267	2200	39	36	32	27	22	14	6	2		
V	92267	2230	37	33	29	22	15	9	6	1		

Seguimiento de Sistemas Convectivos Mesoscala

Area (en miles de Km2) bajo diferentes isothermas

MCS	DIA	HORA	-32°	-36°	-40°	-44°	-48°	-52°	-56°	-60°	-64°	-68°
W	92267	1430										
W	92267	1500	1	1	1							
W	92267	1530	5	4	4	3	2	1				
W	92267	1600	7	7	6	5	4	2	1			
W	92267	1630	9	8	7	6	5	4	2	1		
W	92267	1700	22	21	19	17	16	14	11	5		
W	92267	1730	33	31	29	27	25	22	17	7		
W	92267	1800	41	38	35	33	30	25	18	7		
W	92267	1830	47	44	40	37	33	28	20	5		
W	92267	1900	50	45	41	37	33	28	17	1		
W	92267	1930	53	48	43	40	35	27	11	1		
W	92267	2000	56	52	47	42	34	18	3	1		
W	92267	2030	57	53	48	36	18	7	3	1		
W	92267	2100	61	54	46	29	17	9	3			
W	92267	2130	58	48	39	26	16	7				
W	92267	2200	50	42	36	26	14	3				
W	92267	2230	47	41	36	24	13	2				
I	92270	0600										
I	92270	0630	2	2	1	1	1	1				
I	92270	0700	4	4	4	4	4	3	2			
I	92270	0730	9	8	8	8	7	7	5			
I	92270	0800	14	14	13	13	12	11	7			
I	92270	0830	20	19	18	17	16	15	10			
I	92270	0900	24	22	22	21	19	17	10			
I	92270	0930	26	24	23	22	20	18	10			
I	92270	1000	27	25	24	23	22	20	12			
I	92270	1030	27	26	25	24	22	19	12	1		
I	92270	1100	28	26	24	22	19	16	9	1		
I	92270	1130	21	19	17	15	13	9	3			
I	92270	1200	16	13	11	9	7	3				
I	92270	1230	11	10	7	5	3					

Seguimiento de Sistemas Convectivos Mesoscala

Area (en miles de Km2) bajo diferentes isothermas

MCS	DIA	HORA	-32°	-36°	-40°	-44°	-48°	-52°	-56°	-60°	-64°	-68°
K	92270	0900	12	11	11	10	9	8	6	2		
K	92270	0930	18	17	17	16	15	14	11	3		
K	92270	1000	25	24	23	22	21	19	15	5		
K	92270	1030	40	39	37	35	33	30	21	8	1	
K	92270	1100	49	47	44	41	38	33	26	10	1	
K	92270	1130	62	58	54	51	47	42	30	12	1	
K	92270	1200	83	79	74	69	64	56	39	19	1	
K	92270	1230	93	89	84	79	74	64	51	33	4	
K	92270	1330	163	156	147	138	127	112	89	60	9	
K	92270	1400	183	175	164	154	144	129	105	74	15	
K	92270	1430	192	184	174	165	153	137	116	82	14	1
K	92270	1500	214	205	195	184	171	154	123	75	13	1
K	92270	1530	236	225	212	199	184	161	113	64	12	1
K	92270	1600	255	240	225	212	192	154	99	67	13	3
K	92270	1630	250	239	225	211	183	132	101	67	12	2
K	92270	1700	263	247	226	204	171	139	103	68	12	1
K	92270	1730	255	240	218	196	170	140	100	65	14	1
K	92270	1800	274	255	224	201	173	140	97	70	15	1
K	92270	1830	275	253	227	203	179	146	107	65	13	1
K	92270	1900	218	202	188	174	158	131	96	54	12	
K	92270	1930	231	215	196	181	162	130	82	42	11	
K	92270	2000	250	232	211	191	162	119	66	42	7	
K	92270	2030	266	244	222	181	135	86	63	30	3	
K	92270	2100	204	189	175	144	109	77	59	30	3	
K	92270	2130	191	171	153	120	99	78	61	32	2	
K	92270	2200	126	117	109	100	89	76	63	31	2	
K	92270	2230	136	125	115	104	93	78	61	33	1	
K	92270	2300	141	129	120	108	96	77	60	31	1	
K	92271	0130	134	122	113	99	87	74	59	24	3	
K	92271	0200	127	119	111	100	89	72	52	16	1	
K	92271	0230	134	126	116	104	89	65	42	6		
K	92271	0300	143	131	120	106	88	61	27			
K	92271	0330	134	125	117	104	80	41	13			
K	92271	0400	111	101	87	69	49	25	8			
<hr/>												
L	92270	2300	1									
L	92271	0130	3	3	2	2	1	1	1			
L	92271	0200	8	7	7	7	6	6	5	3	1	
L	92271	0230	17	16	16	15	15	14	12	9	2	
L	92271	0300	37	35	34	32	29	26	21	12	4	
L	92271	0330	40	39	38	36	33	29	23	13	2	
L	92271	0400	49	47	45	42	38	31	24	8		
L	92271	0430	53	51	50	45	40	31	21	3		
L	92271	0500	24	23	21	18	16	11	5			
L	92271	0530	17	14	13	12	10	6	2			
L	92271	0600	4	4	4	3	2	1				

Seguimiento de Sistemas Convectivos Mesoscala

Area (en miles de Km2) bajo diferentes isothermas

MCS	DIA	HORA	-32°	-36°	-40°	-44°	-48°	-52°	-56°	-60°	-64°	-68°
M	92271	0330	29	25	21	17	13	7	4	1		
M	92271	0400	17	16	15	13	10	7	4	1		
M	92271	0430	25	23	21	18	14	10	6	2		
M	92271	0500	43	40	38	34	29	23	17	9	1	
M	92271	0530	64	60	57	53	47	39	32	22	8	
M	92271	0600	93	90	86	80	71	58	46	33	15	
M	92271	0630	122	116	113	106	95	71	61	43	18	
M	92271	0700	154	145	138	126	104	86	72	49	16	
M	92271	0730	179	169	160	136	114	94	79	51	18	
M	92271	0830	260	243	217	188	147	111	89	67	34	1
M	92271	0900	256	237	211	178	122	96	73	54	30	1
M	92271	0930	181	172	163	154	136	119	96	78	40	2
M	92271	1000	193	184	173	158	140	119	97	79	36	4
M	92271	1030	204	191	174	159	136	115	95	72	32	3
M	92271	1100	201	188	170	154	135	119	91	65	21	1
M	92271	1130	205	190	173	157	135	114	85	51	15	
M	92271	1200	199	189	174	158	135	113	70	38	17	2
M	92271	1230	168	161	150	136	123	96	56	36	16	2
M	92271	1300	178	166	153	138	119	87	54	37	16	2
M	92271	1330	160	152	139	126	108	83	53	38	14	1
M	92271	1400	159	146	133	120	103	78	53	35	8	
M	92271	1430	160	148	133	119	100	78	50	30	7	
M	92271	1500	161	148	131	116	99	73	44	22	4	1
M	92271	1530	145	135	123	111	93	66	34	13	4	
M	92271	1600	136	125	112	101	85	56	26	12	2	
M	92271	1630	128	120	111	101	80	54	25	13	4	
M	92271	1700	70	67	61	53	44	31	21	13	2	

Seguimiento de Sistemas Convectivos Mesoscala

Area (en miles de Km2) bajo diferentes isothermas

MCS	DIA	HORA	-32°	-36°	-40°	-44°	-48°	-52°	-56°	-60°	-64°	-68°
N	92271	0530	7	7	6	5	5	4	2			
N	92271	0600	10	9	8	7	7	5	3			
N	92271	0630	14	13	11	10	9	7	4			
N	92271	0700	20	17	16	14	12	8	4			
N	92271	0730	21	20	18	16	13	10	7			
N	92271	0830	31	28	24	22	21	18	13	6		
N	92271	0900	36	33	30	28	27	24	18	9	1	
N	92271	0930	43	40	38	36	33	29	22	12	2	
N	92271	1000	49	46	44	41	38	32	24	16	3	
N	92271	1030	59	54	50	47	42	36	28	21	5	
N	92271	1100	66	60	56	52	47	41	31	24	6	
N	92271	1130	73	68	62	58	52	44	32	24	8	1
N	92271	1200	80	74	66	60	52	43	35	27	11	1
N	92271	1230	83	78	68	62	55	47	38	29	11	
N	92271	1300	89	82	73	66	59	51	42	30	9	
N	92271	1330	97	90	80	73	65	55	44	35	11	1
N	92271	1400	101	93	85	75	67	57	48	38	10	
N	92271	1430	106	97	87	80	72	64	52	42	10	
N	92271	1500	108	99	91	85	77	68	57	47	13	
N	92271	1530	113	105	95	88	81	73	60	49	15	1
N	92271	1600	116	108	99	91	85	77	67	54	19	1
N	92271	1630	134	125	115	106	98	88	75	61	26	3
N	92271	1700	145	136	126	118	110	99	85	68	32	4
N	92271	1730	221	208	192	179	162	146	125	93	31	4
N	92271	1830	242	230	217	204	187	165	114	72	36	5
N	92271	2030	219	207	194	178	165	149	129	102	37	10
N	92271	2100	229	221	214	203	190	168	142	106	40	7
N	92271	2130	248	236	226	211	194	169	141	107	39	11
N	92271	2200	265	251	240	222	201	171	139	111	52	22
N	92271	2230	332	312	297	269	240	205	178	149	82	33
N	92271	2300	341	319	300	274	249	219	194	157	90	38
N	92272	0130	430	397	365	318	272	226	179	109	41	15
N	92272	0200	423	381	353	310	268	209	146	108	60	21
N	92272	0230	405	370	341	301	250	177	143	120	70	24
N	92272	0300	410	375	343	289	222	182	159	129	68	25
N	92272	0330	352	326	304	255	222	191	157	122	62	21
N	92272	0400	340	316	295	260	232	186	148	116	53	15
N	92272	0430	350	327	305	272	229	180	149	116	42	11
N	92272	0500	360	334	311	273	235	190	151	108	31	8
N	92272	0530	340	316	296	265	231	179	135	87	27	5
N	92272	0600	335	313	293	263	222	162	116	76	22	3
N	92272	0630	319	300	277	238	199	147	112	79	13	2
N	92272	0700	279	253	230	201	179	143	111	75	10	1
N	92272	0730	257	238	219	197	173	143	101	65	7	1

Seguimiento de Sistemas Convectivos Mesoscala

Area (en miles de Km2) bajo diferentes isothermas

MCS	DIA	HORA	-32°	-36°	-40°	-44°	-48°	-52°	-56°	-60°	-64°	-68°
N	92272	0800	268	249	227	207	180	135	94	54	5	
N	92272	1000	184	167	146	125	97	66	35	10		
N	92272	1030	180	165	141	114	88	59	23	6		
N	92272	1100	130	122	109	93	68	38	14	1		
N	92272	1200	58	53	45	36	25	15	7	1		
N	92272	1230	35	33	28	25	21	18	10	1		
N	92272	1300	34	32	30	28	25	20	10	2		
N	92272	1400	49	45	42	38	33	26	8	2		
N	92272	1430	54	51	45	41	34	22	9	1		
N	92272	1530	76	72	64	57	50	42	21	10	1	
N	92272	1600	91	85	78	70	60	46	29	14	1	
N	92272	1630	89	84	76	67	59	50	33	16	1	
N	92272	1700	91	86	80	74	68	57	37	20	2	
N	92272	1730	94	90	84	77	69	57	35	18	2	
N	92272	1800	103	98	89	82	73	56	35	17	3	
N	92272	1830	107	101	93	84	69	55	33	19	3	
N	92272	1900	111	103	91	81	71	52	34	21	3	
N	92272	1930	98	90	83	75	63	48	33	21	2	
N	92272	2000	94	88	80	71	61	50	35	20	2	
N	92272	2030	92	87	78	71	59	49	33	14		
N	92272	2100	87	81	71	63	52	41	22	8		
N	92272	2130	91	85	76	64	49	35	13	4		
N	92272	2200	25	24	23	21	18	15	5	1		
N	92272	2230	22	20	19	17	13	7	2			
N	92272	2300	19	18	16	13	7	4				
O	92271	2030	34	33	31	29	27	25	21	17	7	2
O	92271	2100	35	33	32	30	28	26	23	20	11	3
O	92271	2130	36	34	33	31	29	26	24	21	13	3
O	92271	2200	49	48	45	43	41	38	34	30	16	3

Seguimiento de Sistemas Convectivos Mesoscala

Area (en miles de Km2) bajo diferentes isothermas

MCS	DIA	HORA	-32°	-36°	-40°	-44°	-48°	-52°	-56°	-60°	-64°	-68°
X	92282	0130	11	8	5	3	1					
X	92282	0200	9	7	5	3	1					
X	92282	0230	10	8	6	4	1					
X	92282	0300	8	7	5	3	1					
X	92282	0330	10	7	6	4	1					
X	92282	0400	9	8	6	3	1					
X	92282	0430	9	8	5	4	3	2				
X	92282	0500	10	9	8	7	6	3				
X	92282	0530	13	12	11	10	9	5	1			
X	92282	0600	18	17	16	14	12	6	2			
X	92282	0630	24	23	21	19	14	9	1			
X	92282	0700	31	29	27	23	18	9	1			
X	92282	0730	38	35	32	27	19	10				
X	92282	0800	38	35	31	26	19	8				
X	92282	0830	47	44	39	33	21	11	1			
X	92282	0900	50	47	42	36	19	11	1			
X	92282	0930	55	51	43	34	17	8	1			
X	92282	1000	63	57	45	32	15	7	1			
X	92282	1030	68	59	44	28	15	9	2			
X	92282	1100	75	62	42	29	21	13	3			
X	92282	1130	76	62	46	36	26	20	4			
X	92282	1200	67	60	47	41	33	26	5	1		
X	92282	1230	74	66	55	48	39	29	6			
X	92282	1300	83	74	63	56	44	32	5			
X	92282	1330	92	83	71	58	42	29	4			
X	92282	1400	154	138	105	73	48	33	6			
X	92282	1430	152	127	90	70	46	29	8	1		
X	92282	1500	147	123	89	67	44	29	9			
X	92282	1530	136	110	80	64	45	27	9			
X	92282	1600	128	103	80	65	41	28	10	1		
X	92282	1630	120	100	78	59	41	29	9			
X	92282	1700	121	99	71	59	44	33	7			
X	92282	1730	123	93	72	62	47	30	6			
X	92282	1800	110	94	78	66	44	28	5			
X	92282	1830	106	94	73	60	44	24	2			
X	92282	1900	101	81	68	58	37	19	1			
X	92282	1930	81	71	62	50	32	21	4			
X	92282	2000	77	70	59	49	33	24	5			
X	92282	2030	80	72	59	46	37	21	3			

Seguimiento de Sistemas Convectivos Mesoscala

Area (en miles de Km2) bajo diferentes isothermas

MCS	DIA	HORA	-32°	-36°	-40°	-44°	-48°	-52°	-56°	-60°	-64°	-68°
X	92282	2100	70	64	57	49	38	18	1			
X	92282	2130	78	70	62	53	38	15				
X	92282	2200	85	75	68	55	36	12				
X	92282	2230	93	83	74	54	32	13		2		
X	92282	2300	84	75	66	49	29	12		2		
X	92283	0130	54	51	46	36	26	11				
X	92283	0200	50	45	39	26	16	9				
X	92283	0230	71	64	51	34	20	9		1		
X	92283	0300	68	60	48	32	21	10		1		
X	92283	0330	65	57	47	31	21	9				
X	92283	0400	69	57	46	32	21	8		1		
X	92283	0430	71	57	48	32	18	6				
X	92283	0500	28	25	22	16	10	4				
X	92283	0530	28	24	20	14	7	3				
X	92283	0600	16	12	10	7	4	1				
X	92283	0630	13	10	7	5	3					
X	92283	0700	10	7	5	3						
X	92283	0730	5	3	1							

Y	92282	0300	1									
Y	92282	0330	2	2	1	1						
Y	92282	0400	5	4	3	3	1					
Y	92282	0430	8	7	7	5	3	1				
Y	92282	0500	12	11	10	9	6	1				
Y	92282	0530	16	15	14	12	9	2				
Y	92282	0600	20	19	18	15	11	4				
Y	92282	0630	29	27	23	18	13	5				
Y	92282	0700	32	30	26	22	14	4				
Y	92282	0730	38	35	31	24	14	3				
Y	92282	0800	41	37	32	23	15	2				
Y	92282	0830	43	40	33	26	16	6				
Y	92282	0900	48	44	36	27	17	8				
Y	92282	0930	54	48	37	28	21	11				
Y	92282	1000	49	46	39	33	26	15		1		
Y	92282	1030	58	52	45	39	27	14		2		
Y	92282	1100	61	54	46	39	24	11		1		
Y	92282	1130	63	56	48	41	20	9				
Y	92282	1200	58	54	47	36	20	9				
Y	92282	1230	58	53	45	36	19	7				
Y	92282	1300	58	53	45	33	14	4				
Y	92282	1330	58	51	37	27	9	4				

Seguimiento de Sistemas Convectivos Mesoscala

Area (en miles de Km2) bajo diferentes isothermas

MCS	DIA	HORA	-32°	-36°	-40°	-44°	-48°	-52°	-56°	-60°	-64°	-68°
Z	92359	1130										
Z	92359	1200	1									
Z	92359	1230	1	1	1							
Z	92359	1300	2	2	1	1						
Z	92359	1330	3	3	2	2	1					
Z	92359	1400	4	4	3	3	2					
Z	92359	1430	6	5	4	3	2					
Z	92359	1500	8	7	5	4	2					
Z	92359	1530	11	9	7	6	3	1				
Z	92359	1600	8	8	7	6	4	1				
Z	92359	1630	10	9	8	7	5	2				
Z	92359	1700	11	10	9	8	5	1				
Z	92359	1730	12	10	9	8	5	1				
Z	92359	1800	13	11	9	7	4					
Z	92359	1830	10	9	7	6	2					
Z	92359	1900	9	8	6	4	2					
Z	92359	1930	7	6	4	3	1					
Z	92359	2000	7	6	5	4	1					
Z	92359	2030	7	6	5	4	2	1				
Z	92359	2100	6	5	5	4	3	1				
Z	92359	2130	6	6	5	4	3					
Z	92359	2200	8	7	6	4	3					
Z	92359	2230	9	7	6	4	2					
Z	92359	2300	4	4	3	3	2					
Z	92359	2330	5	4	4	3	2					
Z	92359	2400	5	4	4	3	1					
Z	92360	0030	4	4	3	2	1					
Z	92360	0100	5	4	3	2	1					
Z	92360	0130	5	5	4	1						

RELACIÓN DE NOTAS TÉCNICAS DEL S.T.A.P.

- 1.- **SISTEMAS CONVECTIVOS DE MESOESCALA. Campaña PREVIMET Mediterráneo-89. Parte I: Características según las imágenes de satélite. Parte II: Evolución de los Sistemas Convectivos.** R. Riosalido, Mayo 1991 (Revisión -0-).
- 2.- **EXPLOTACIÓN OPERATIVA DE LA COMBINACIÓN DE IMÁGENES METEOSAT 3 Y 4.** M. Isabel Jiménez, Abril 1992 (Revisión -0-).
- 3.- **PRINCIPIOS GENERALES DE ELECTRICIDAD ATMOSFÉRICA: DESCARGAS ELÉCTRICAS.** F. Martín y O. Carretero, Abril 1992 (Revisión -0-).
- 4.- **PROGRAMA DE ANÁLISIS DE SONDEOS MEDIANTE PC.** R. Riosalido, Julio 1992 (Revisión -0-).
- 5.- **TEMPERATURA POTENCIAL DEL TERMÓMETRO HÚMEDO: CÁLCULO Y APLICACIONES.** A. García, Octubre 1992 (Revisión -0-).
- 6.- **CONSIDERACIONES SOBRE LA PREDICCIÓN DE NEVADAS. RESULTADOS DE LA CAMPAÑA 1991-1992.** F. Elizaga, Octubre 1992 (Revisión -0-).
- 7.- **SISTEMAS FRONTALES: LOCALIZACIÓN Y CARACTERIZACIÓN A PARTIR DE MODELOS NUMÉRICOS.** A. García y F. Elizaga, Octubre 1992 (Revisión -0-).
- 8.- **OBTENCIÓN DE SECCIONES VERTICALES EN EL SAIDAS: APLICACIONES A LA DIAGNOSIS Y PREDICCIÓN.** F. Elizaga y A. García, Octubre 1992 (Revisión -0-).
- 9.- **SISTEMAS CONVECTIVOS DE MESOESCALA. Campaña PREVIMET Mediterráneo-90. Parte I: Características según las imágenes de satélite. Parte II: Evolución de los Sistemas Convectivos.** M. Canalejo, O. Carretero y R. Riosalido, Marzo 1993 (Revisión -0-).
- 10.- **GUÍA OPERATIVA SIRAM.** Julio 1993 (Revisión -0-).
- 11.- **PAMIS: Procedimiento de Análisis a Mesoescala Interactivo en Saldas. Parte I: Formalismo matemático. Parte II: Aplicaciones.** A. García y F. Elizaga, Octubre 1993 (Revisión -0-).
- 12.- **SISTEMAS CONVECTIVOS DE MESOESCALA. Campaña PREVIMET Mediterráneo-91. Parte I: Características según las imágenes de satélite. Parte II: Evolución de los Sistemas Convectivos.** O. Carretero, M. Canalejo y R. Riosalido, Noviembre 1993 (Revisión -0-).
- 13.- **CARACTERIZACIÓN DE LA CONVECCIÓN ESTIVAL EN LA ZONA CENTRO. CAMPAÑA 1992.** F. Martín, L. Esteban y R. Riosalido, Diciembre 1993 (Revisión -0-).

